



PROTEZIONE CIVILE
 Presidenza del Consiglio dei Ministri
 Dipartimento della Protezione Civile



Regione Emilia-Romagna



CONFERENZA DELLE REGIONI E
 DELLE PROVINCE AUTONOME

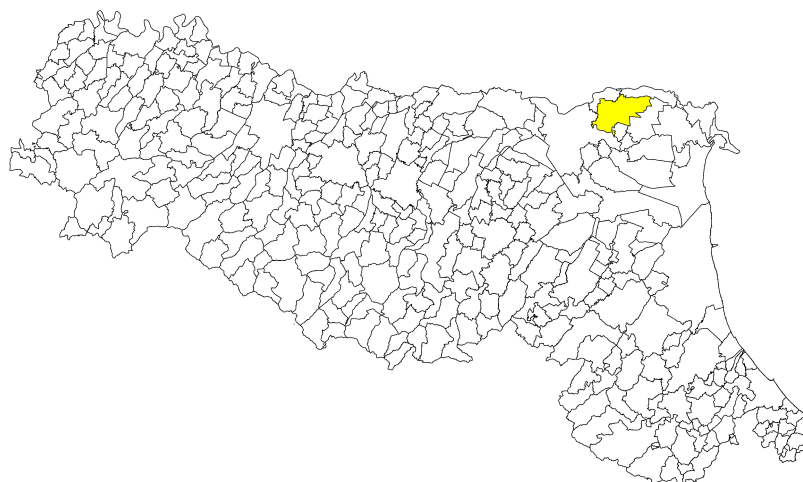
Attuazione dell'articolo 11 della legge 24 giugno 2009, n. 77

MICROZONAZIONE SISMICA

Regione Emilia – Romagna

Comune di Copparo

RELAZIONE ILLUSTRATIVA



Regione Emilia – Romagna
 Comune di Copparo (FE)



Unione dei Comuni
Terre e Fiumi

Copparo - Berra - Jolanda di Savoia - Tresigallo - Formignano - Rio

Dir. area gestione del territorio:

Ing. Stefano Farina

Resp. del procedimento:

Geom. Silvia Trevisani

Soggetto realizzatore



Synthesis s.r.l.
 P.zza del Popolo 13 int. 5
 44034 Copparo (FE)

Gruppo di lavoro

Responsabile del progetto:

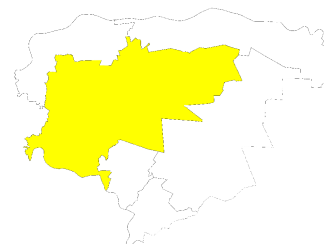
Dr. Geol. Emanuele Stevanin

Collaboratori:

Dr.ssa Geol. Emma Biondani

Dr. Geol. Stefano Maggi

Data 06/2018



INDICE

1. INTRODUZIONE	2
2. DEFINIZIONE DELLA PERICOLOSITÀ SISMICA DI BASE E DEGLI EVENTI DI RIFERIMENTO	4
2.1. Caratteristiche sismotettoniche generali	4
2.2. Storia sismica del territorio comunale	5
2.3. Pericolosità sismica di base sito specifica	7
3. ASSETTO GEOLOGICO, IDROGEOLOGICO E GEOMORFOLOGICO DELL'AREA	9
3.1 Assetto geologico e idrogeologico	9
4. DATI GEOTECNICI E GEOFISICI	10
4.1. Parametri geotecnici	12
4.2. Parametri geofisici	20
5. MODELLO DEL SOTTOSUOLO	30
6. INTEPRETAZIONI ED INCERTEZZE	31
7. METODOLOGIE DI ELABORAZIONE E RISULTATI	32
8. ELABORATI CARTOGRAFICI	33
8.1 Carta delle Indagini	33
8.2 Carta delle frequenze naturali dei terreni	34
8.3 Carta delle velocità delle onde di taglio S (Vs)	35
8.4 Carte di Microzonazione Sismica di III livello	36
8.4.1 Analisi di Risposta Sismica Locale	38
8.4.2 Stima dell'indice di liquefazione IL terreni incoerenti	45
8.4.3 Stima dei cedimenti post-sismici attesi terreni coesivi	48
9. CONFRONTO CON LA DISTRIBUZIONE DI DANNI PER EVENTI PASSATI	49
10. BIBLIOGRAFIA	49
11. ALLEGATI	50



1. INTRODUZIONE

La presente Relazione Illustrativa riferisce i risultati ottenuti dalle analisi di *terzo Livello di approfondimento*, eseguite ai sensi della Delibera della Giunta Regionale DGR 2193/2015 della Regione Emilia Romagna, relativamente al territorio di comunale di Copparo e sue frazioni (Ambrogio, Brazzolo, Coccabile, Cesta, Fossalta, Gradizza, Sabbioncello San Pietro, Sabbioncello San Vittore, Saletta, Tamara). Il presente documento accompagna gli elaborati cartografici specifici richiesti per il livello di studio in questione.

Lo studio con *terzo livello di approfondimento* per il territorio di Copparo e sue frazioni, alla luce delle evidenze emerse durante le fasi di I e II livello di approfondimento, si è posto come obiettivo la valutazione dell'effettivo grado di pericolosità sismica locale dell'area mediante la stima degli indici di rischio nelle aree identificate come "instabili" e pertanto potenzialmente suscettibili di:

- liquefazione, limitatamente alle zone 1 e 3 individuate nella fase di approfondimento precedente (presenza di terreni incoerenti, sciolti, in falda);
- densificazione, nella totalità delle zone individuate al precedente livello di analisi (terreni coesivi, soffici).

Si ricorda altresì che la totalità del territorio oggetto di studio è caratterizzata da terreni soggetti ad amplificazione del moto sismico del suolo per effetti stratigrafici. Nel presente lavoro è stata eseguita l'analisi della risposta sismica locale (RSL) mediante approccio numerico non semplificato al fine di stimare con maggiore dettaglio i valori di PGA (accelerazione orizzontale massima in superficie) utilizzati sia per la stima dell'Indice di Liquefazione a carico dei terreni granulari sia per la stima dei cedimenti post-sismici attesi nei terreni coesivi.

Il lavoro che ha portato alla redazione del presente documento è stato sviluppato nel seguente modo:

- sintesi e riepilogo delle principali informazioni desunte dai precedenti livelli di analisi;
- esecuzione di nuove indagini dirette (CPTU, sondaggi a trivella, prelievo campioni, analisi di laboratorio geotecnico) e indirette di tipo geofisico (SCPTU, profili in array con metodo attivo/passivo, misure a stazione singola del microtremore ambientale su suolo e strutture); il nuovo set di indagini realizzato ha avuto come scopo quello di integrare e completare le informazioni di carattere geologico-geotecnico-geofisico ottenute nelle fasi di studio precedenti, al fine di consentire l'analisi di risposta sismica locale e la stima dettagliata degli indici di rischio sopraccitati;
- costruzione di un modello sintetico di sottosuolo dalla superficie al "bedrock" sismico ($V_s \approx 700-800$ m/s) in termini di spessore strati, litologia predominante all'interno del singolo strato, velocità media di propagazione delle onde S all'interno del singolo stato e curve degrado-smorzamento (comportamento dinamico dello strato);
- analisi di risposta sismica locale (RSL) sul modello sopraccitato con stima dello spettro di risposta elastico in accelerazione delle componenti orizzontali per un periodo di ritorno $TR = 475$ anni e smorzamento convenzionale pari al 5%, e mappe di amplificazione in termini di PGA/PGA_0 e SI/SI_0 (intensità di Housner sullo spettro in pseudo-velocità);
- stima dell'Indice di Liquefazione I_L sugli strati incoerenti entro i primi 20 m (laddove $PGA > 0.1$ g da analisi RSL), e stima dei cedimenti post-sismici attesi a carico della frazione fine con particolare riferimento ai primi 5-10 m da p.c. (laddove verificate le condizioni di cui all'allegato B3 della DGR 2193/2015); in entrambi i casi come parametro di input per la sollecitazione ciclica sono stati utilizzati i valori di PGA in superficie ottenuti da analisi RSL.

Il territorio comunale di Copparo è identificabile nella cartografia IGM alla scala 1:25.000 nei fogli:

186 I Berra

186 III Copparo

186 IV Polesella

Dal punto di vista cartografico è inoltre ricoperto dalla Carta Tecnica Regionale ricostruita alla scala 1:5.000. Gli elementi che interessano l'intero territorio sono i seguenti:

186032-186033

186042-186043

186061-186062-186063-186064

186071-186072-186073-186074

186081-186082-186083-186084

186092

186101-186102-186103-186104

186111-186112-186113-186114

186124

186141-186144

186154

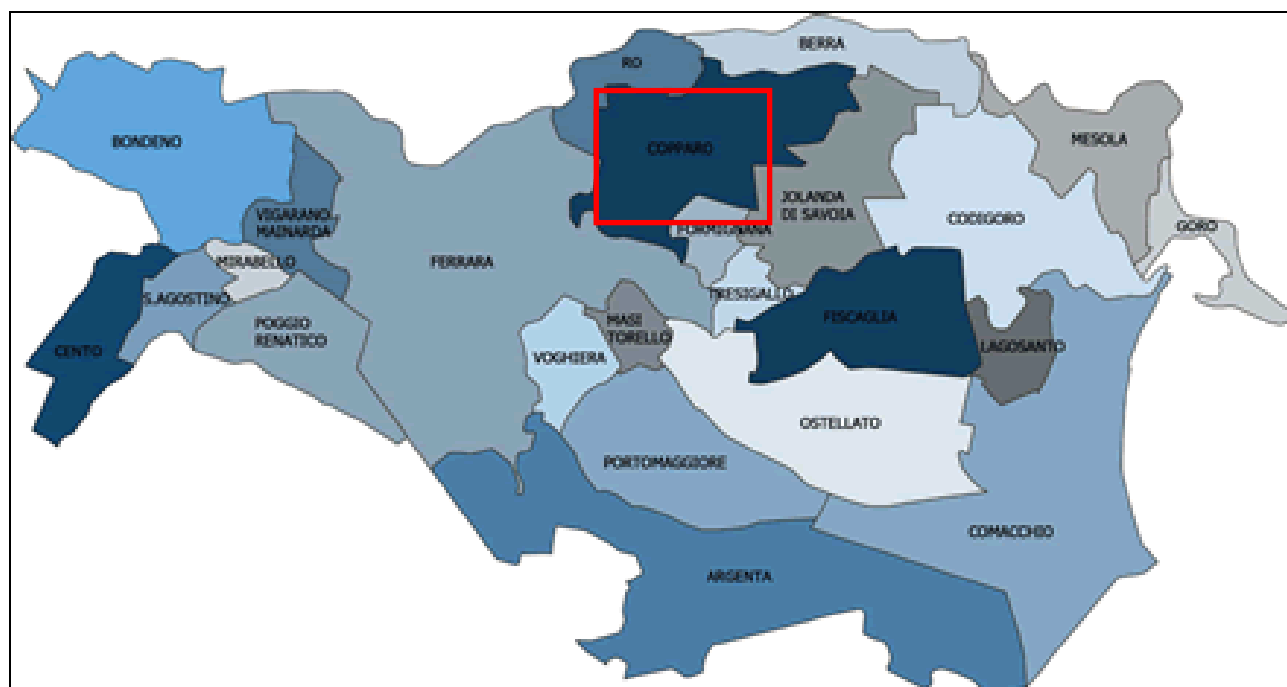


Figura 1-1: Suddivisione amministrativa della provincia di Ferrara; nel riquadro il territorio oggetto di studio

2. DEFINIZIONE DELLA PERICOLOSITÀ SISMICA DI BASE E DEGLI EVENTI DI RIFERIMENTO

2.1. Caratteristiche sismotettoniche generali

Il territorio comunale di Copparo è caratterizzato nel complesso da una sismicità di grado basso-molto basso. Dalla Carta Sismotettonica della Regione Emilia-Romagna si evince che il territorio del Comune di Copparo è compreso all'interno di una zona con profondità delle isobate della base del *Sintema Emiliano-Romagnolo superiore* (depositi della Pianura Padana di età compresa tra 0.45-0.35 M.a. e l'Olocene) variabile per la maggior parte del territorio comunale (capoluogo compreso) tra -200 m e -250 m. Queste profondità verranno assunte come limite basale ("bedrock" sismico) del modello di sottosuolo ai fini della risposta sismica locale (RSL) come descritto in seguito.

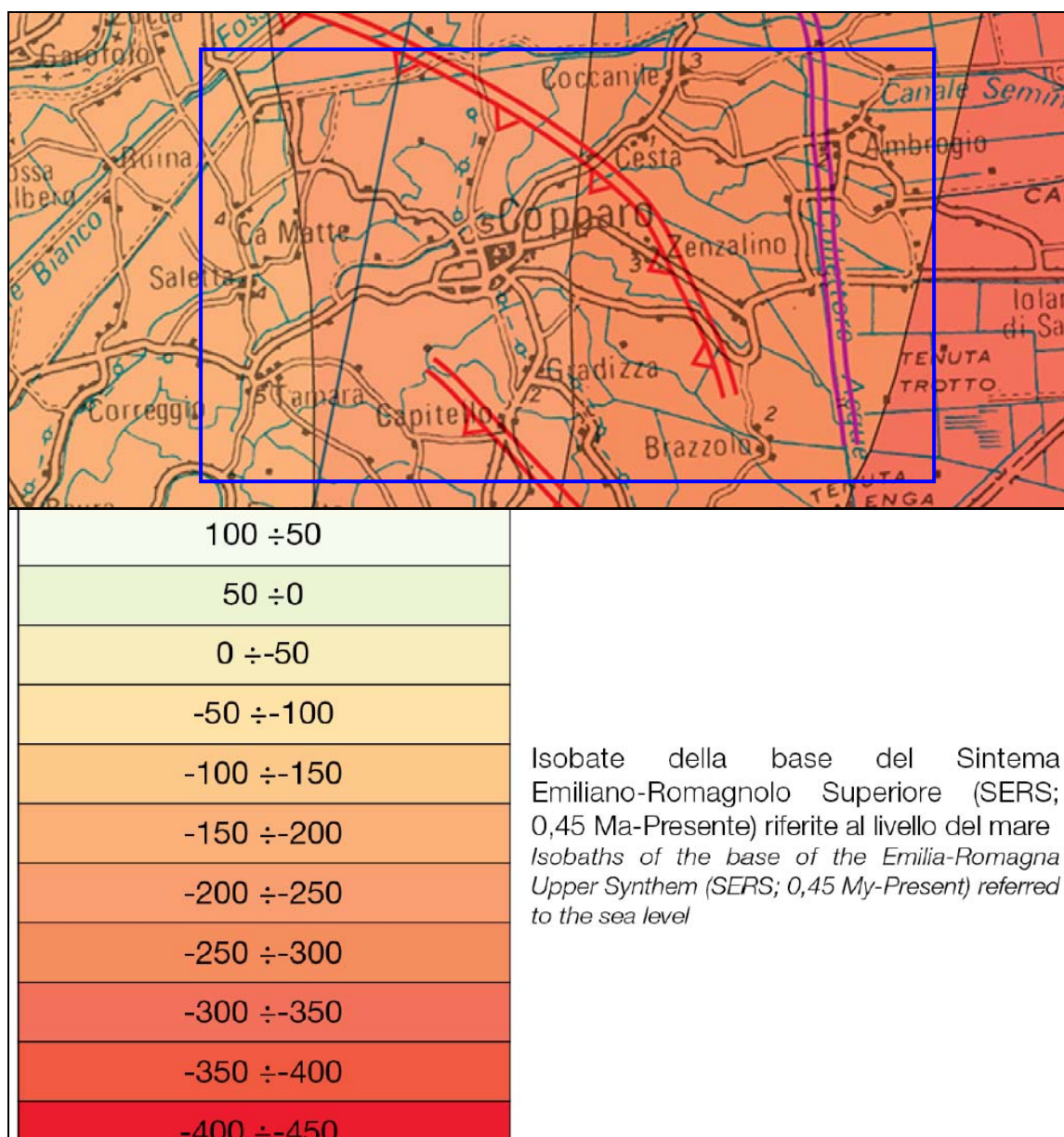


Figura 2.1-1: Estratto della Carta Sismotettonica Regione E-R (nel riquadro l'area in studio)

Secondo l'ultima zonazione sismogenetica pubblicata ZS9 (30/06/2012), nella quale vengono individuate per tutto il territorio italiano n. 36 zone – sorgente, denominate dal numero 901 al numero 936, i cui limiti sono stati tracciati sulla base di informazioni tettoniche o geologico-strutturali e di differenti caratteristiche della sismicità, quali distribuzione spaziale e frequenza degli eventi, massima magnitudo rilasciata, ecc., il territorio comunale di Copparo, a testimonianza di una sismicità nel complesso bassa e trascurabile, non rientra in alcuna zona. Inoltre l'area in esame, si colloca in posizioni esterne rispetto al sistema sismogenetico delle "pieghe ferraresi".

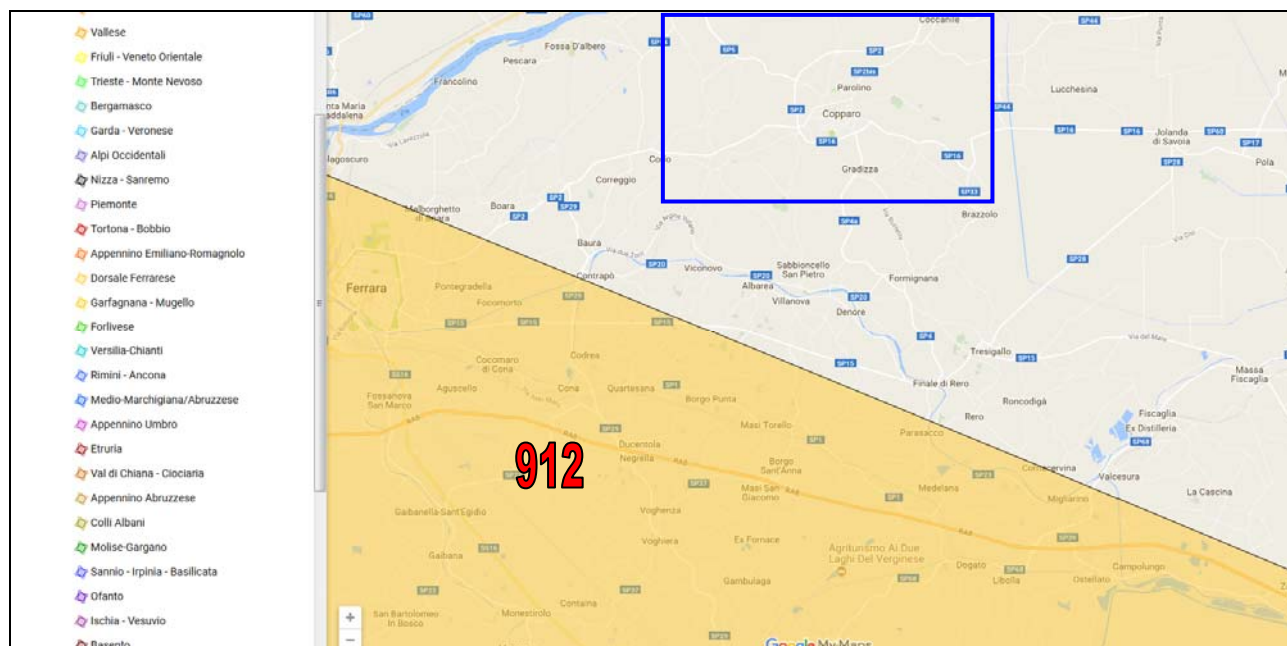


Figura 2.1-2: Carta Sismogenetica d'Italia - Zone Sismogenetiche ZS9 (nel riquadro l'area oggetto di studio)

2.2. Storia sismica del territorio comunale

In questo paragrafo è descritta, sinteticamente, la storia sismica del comune di Copparo. In figura 2.2-1 sono evidenziati i principali eventi sismici verificatisi dall'anno 1000 a oggi. Dal grafico si evince che gli eventi sono di intensità piuttosto modesta e molto sporadici; questo, almeno in parte, è dovuto ad una mancanza di dati dato che queste zone erano disabitate e palustri fino a tempi moderni.

L'evento principale, di intensità macrosismica IMCS = 6 percepita presso il comune di Copparo, è avvenuto nel 1624 e ha avuto epicentro nel comune di Argenta (figura 2.2-2) distante circa 27 Km dall'area in studio. La Magnitudo Momento M_w associata a questo sisma è pari a 5.43 ± 0.40 (INGV-CPT15)

Altro dato è quello proveniente dal sisma del 20/05/2012, con epicentro nella zona di Finale Emilia (MO), con distanze dal sito in studio di circa 40 Km. Lo scuotimento registrato dalla stazione accelerometrica più vicina (circa 10 Km dal sito) è quella di Coccanelle (sigla in codice "CPC" – da Italian Accelerometric Archive ITACA 2.3). Essa ha registrato valori massimi di $PGA = 33.167 \text{ cm/s}^2$ ($= 0.033 \text{ g}$) sulla componente orizzontale. Il sisma, di Magnitudo Momento $M_w = 6.1$, è avvenuto a una distanza epicentro-stazione di misura pari a 48.4 Km.

Questi dati, con particolare riferimento a magnitudo momento e distanze epicentrali, sono stati utilizzati per la selezione degli accelerogrammi di input ai fini dell'analisi di risposta sismica locale come descritto in seguito.

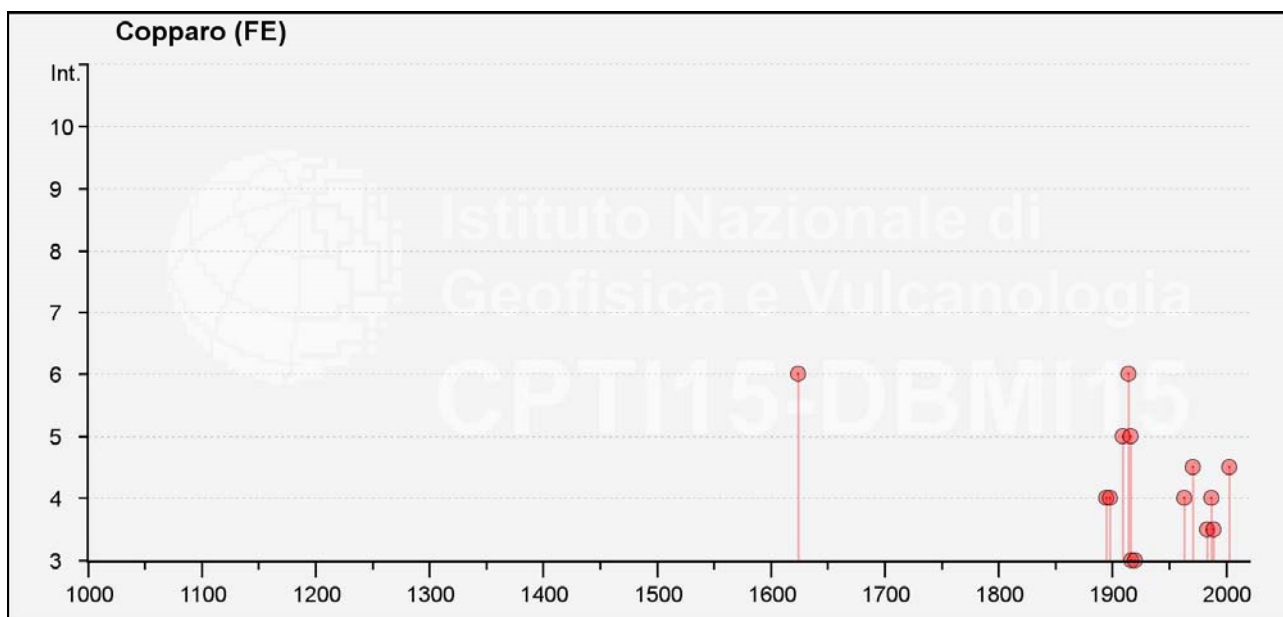


Figura 2.2-1: Eventi sismici Copparo (FE) da CPT115 E DBM15 - INGV

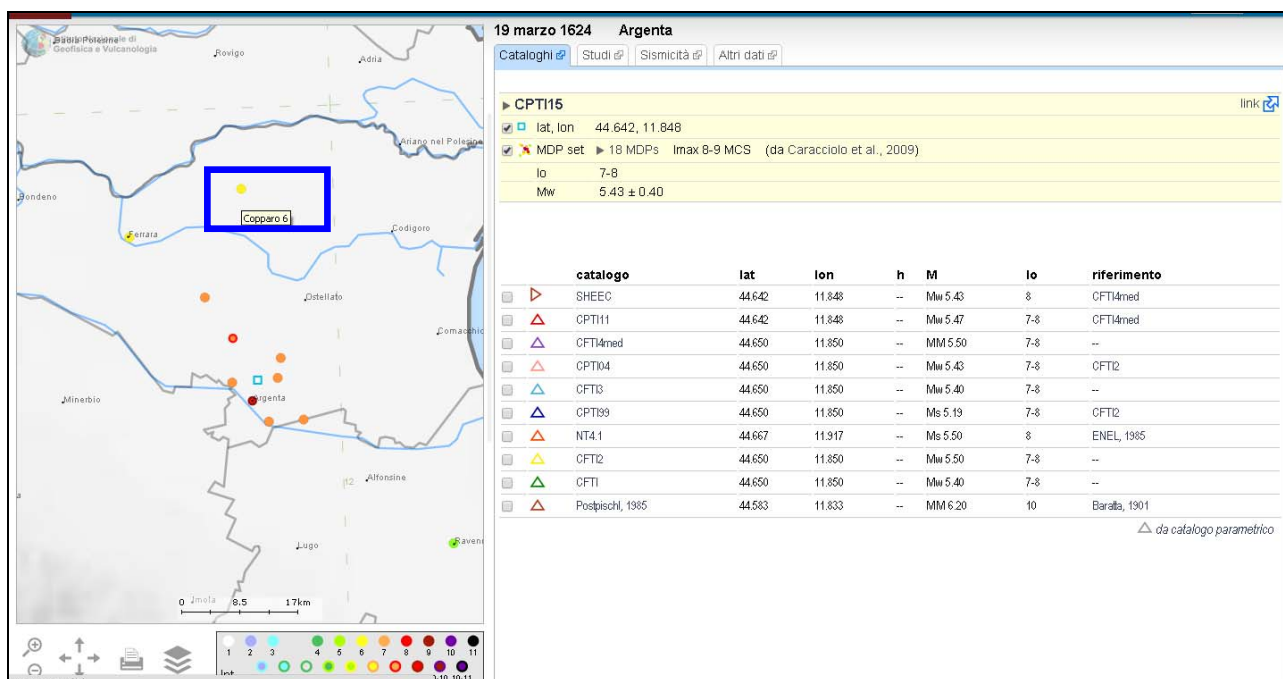


Figura 2.2-2: Localizzazione epicentro dell'evento principale che ha causato i maggiori effetti macrosismici sul comune di Copparo (FE) e valori di magnitudo associati. Nel riquadro l'area di interesse.

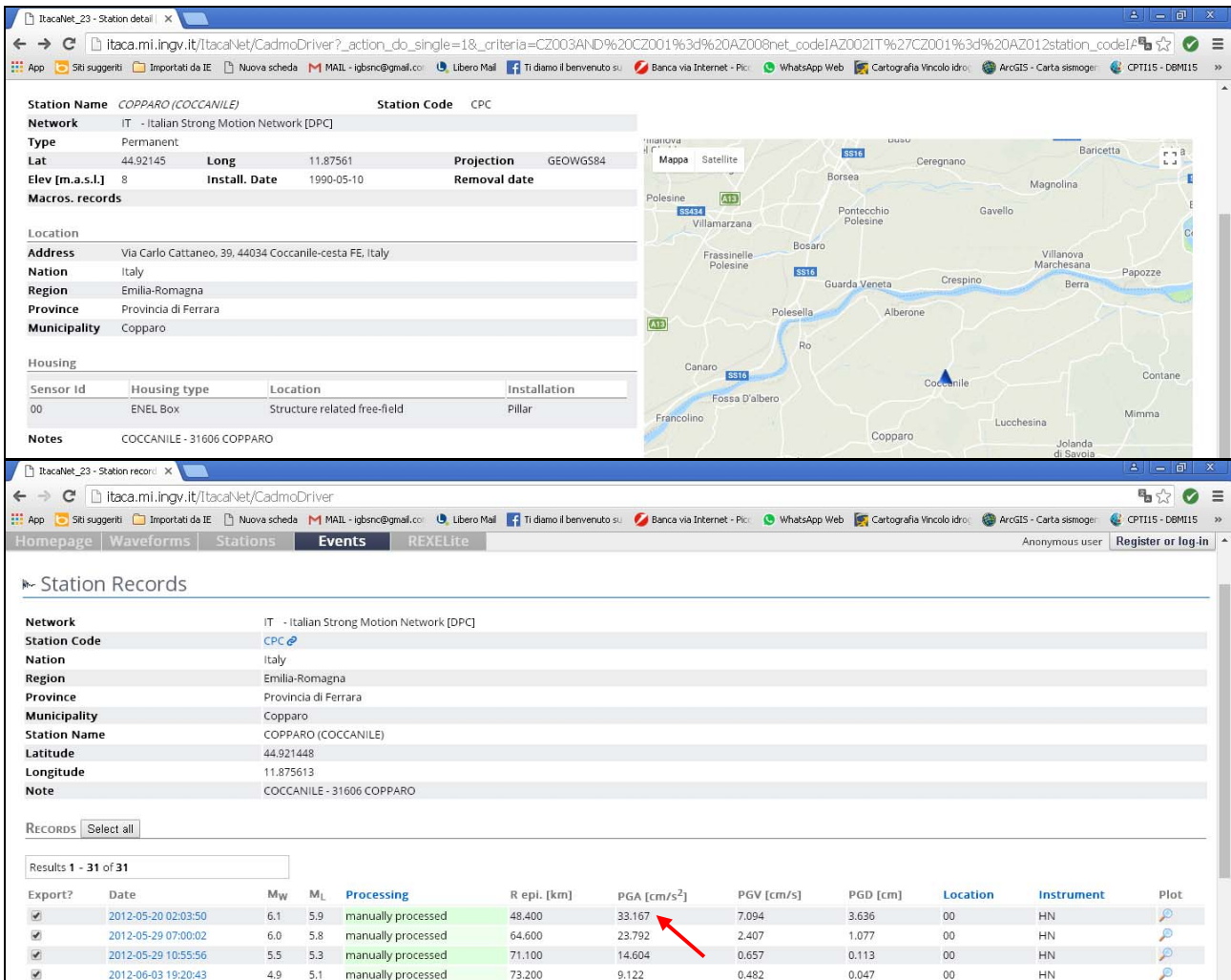


Figura 2.2-3 – Stazione di Coccanile “CPC” (Italian Accelerometric Archive) e dati provenienti dal sisma 2012 (il triangolo blu rappresenta la stazione accelerometrica)

2.3. Pericolosità sismica di base sito specifica

Nell'allegato 4 della DGR 2193/2015, la pericolosità sismica di base di ciascun punto del territorio regionale è definita sulla base di una griglia di nodi ai quali è associato un valore di a_{refg} determinato come l'accelerazione orizzontale di base espressa in frazioni percentuali dell'accelerazione di gravità ($g = 9.81 \text{ m/s}^2$).

Il territorio regionale è suddiviso in una griglia di nodi (allegato 4 - DGR 2193/2015). A ciascun nodo corrisponde uno specifico valore di a_{refg} . In figura 2.3-1 è riportato nel dettaglio il territorio comunale di Copparo con i nodi ricadenti in corrispondenza dell'area di studio e nelle immediate vicinanze. I valori di riferimento di a_{refg} , selezionati nel presente studio, sono associati ai punti griglia più vicini al comune capoluogo o alla frazione considerata.

La pericolosità sismica di base secondo la DGR 2193/2015 è definita per un Periodo di Ritorno T_R pari a 475 anni con probabilità di eccedenza del 10% in 50 anni.

Considerando i nodi più vicini, spostandosi nei diversi settori del territorio comunale, i valori di a_{refg} passano da un minimo di **0.0751 g** a un massimo di **0.1007 g**.

Questi valori sono stati utilizzati, come descritto in seguito, per scalare gli accelerogrammi di input utilizzati nell'analisi di risposta sismica locale.

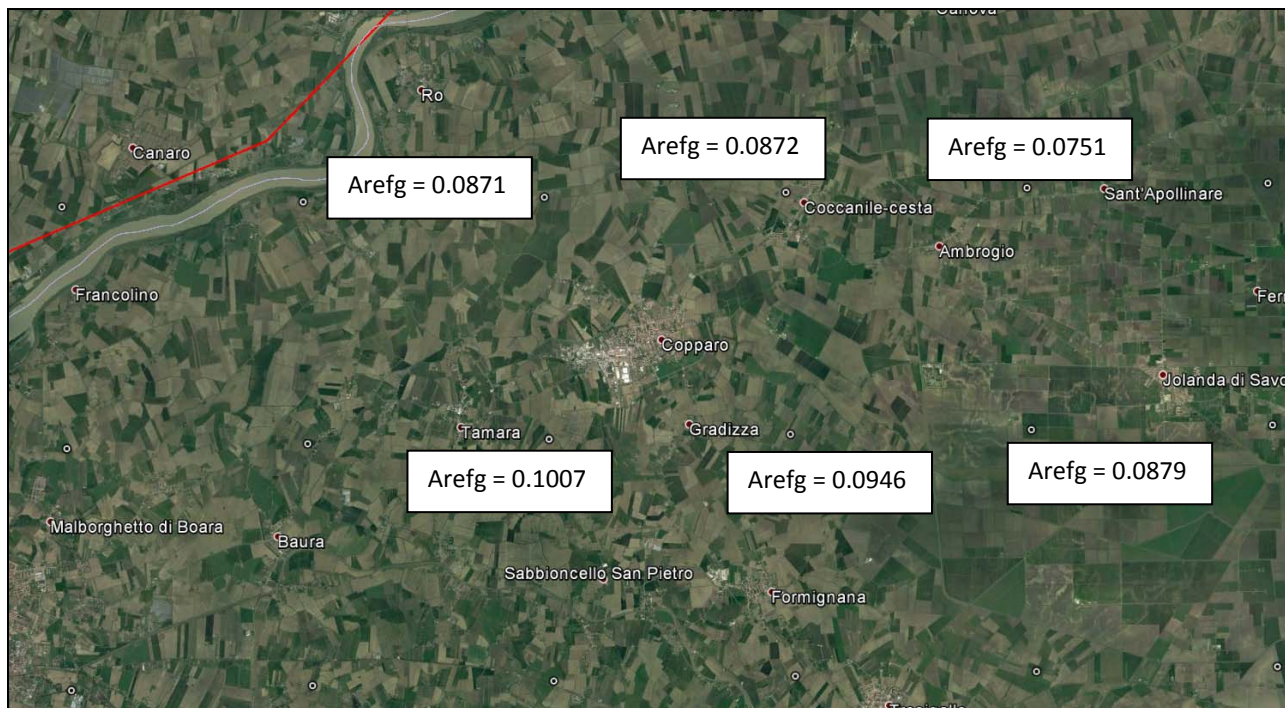


Figura 2.3-1: nodi identificativi della pericolosità sismica di base (valori di a_{refg} o PGA_0 riportati nel testo) per il territorio comunale di Copparo (FE) e sue frazioni.

3. ASSETTO GEOLOGICO, IDROGEOLOGICO E GEOMORFOLOGICO DELL'AREA

3.1 Assetto geologico e idrogeologico

Il territorio comunale di Copparo si colloca nel settore sud orientale della pianura padana in destra idrografica del Fiume Po il cui corso scorre immediatamente a nord. Il paesaggio, piatto e uniforme, è interrotto e dominato dagli argini del Grande Fiume. Il comune capoluogo e la frazione di Brazzolo si collocano in un'area attualmente di piana fluvio-deltizia caratterizzata da quote medie comprese tra circa -2 m e +2 m s.l.m.

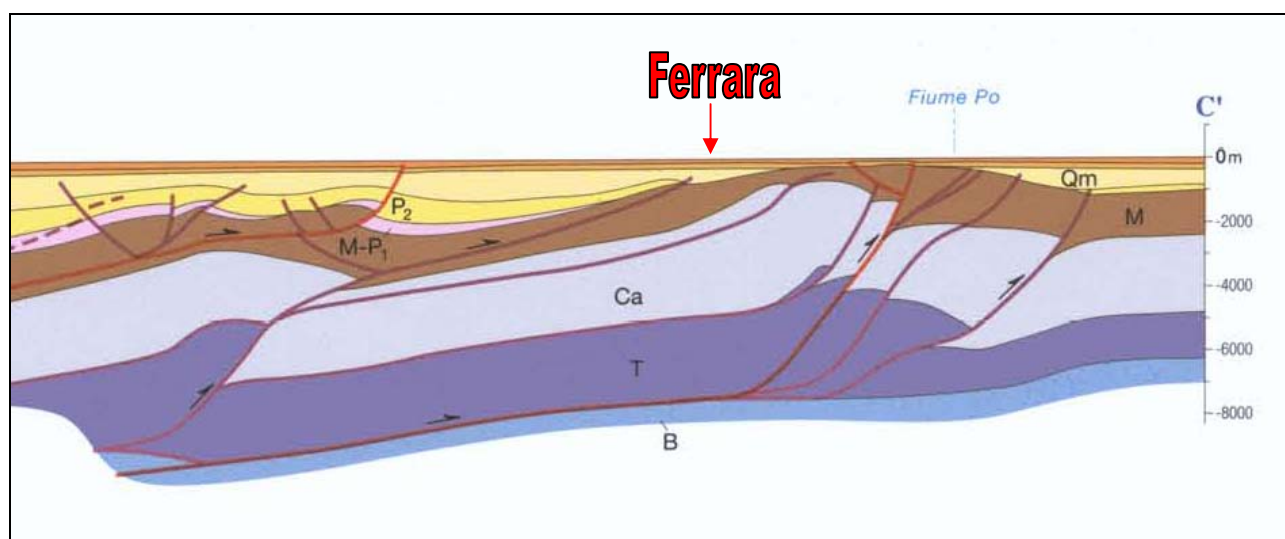


Figura 3.1-1: Dettaglio della sezione C-C' della Carta Sismotettonica della Regione E-R (assetto strutturale profondo della pianura padana sud-orientale)

Nello specifico il settore di studio si identifica nella pianura fluvio-deltizia orientale del Fiume Po, caratterizzata in profondità dall'alternanza di potenti corpi sabbiosi molto estesi lateralmente e sedimenti fini (limi-argille). Le **sabbie** derivano dalla sedimentazione del **Fiume Po** e sono presenti in strati amalgamati tra loro in modo tale da formare livelli molto spessi, anche diverse decine di metri, ed estesi per svariati chilometri. Questi corpi sabbiosi sono presenti in genere a profondità variabili da circa 15 a circa 25 m e sono di **età pleistocenica** (*canali distributori principali – piana alluvionale pleistocenica*).

Procedendo verso la superficie, al di sopra delle sabbie pleistoceniche si trovano pacchi di sedimenti più fini di **età olocenica** costituiti prevalentemente da limi più o meno argillosi, argille e subordinatamente da sabbie limose e sabbie in strati di spessore contenuto. Si tratta di **depositi olocenici di piana deltizia** del fiume Po, dove i **sedimenti sabbiosi** identificano antichi **canali distributori minori** o secondari di piana deltizia, depositi di argine e tracimazione; i depositi più fini (**limi argillosi-argille e talora torbe**) rappresentano invece le **aree cosiddette interdistributrici**, ossia aree poste tra i diversi canali distributori che solcavano la piana deltizia. Queste aree venivano frequentemente interessate da allagamenti a seguito delle esondazioni dei canali distributori e pertanto erano interessate da sedimentazione relativamente più fine. Spesso sono presenti anche argille ricche in sostanza organica e livelli torbosi che fungono da livelli guida e testimoniano la presenza in passato di ampie zone palustri formatesi all'interno di conche morfologiche (valli) dove l'acqua ristagnava per tempi molto lunghi dopo le naturali esondazioni dei canali distributori.

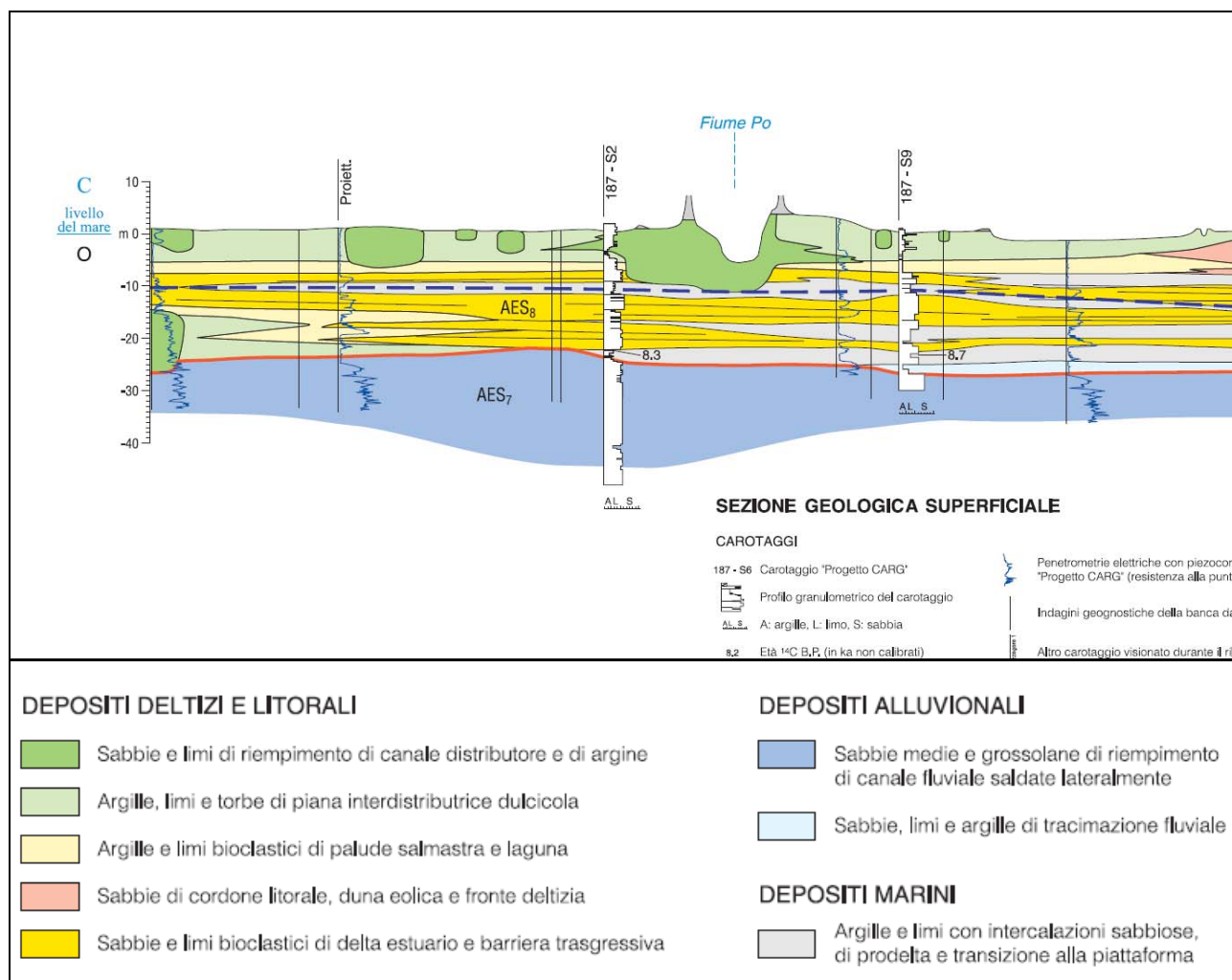


Figura 3.1-2: Stralcio della sezione geologica superficiale 073 – Regione Emilia-Romagna. Schema dell’assetto geologico del settore in studio.

4. DATI GEOTECNICI E GEOFISICI

Lo studio di microzonazione sismica di III livello di approfondimento ha visto l’esecuzione di una serie di indagini dirette e indirette allo scopo, come già accennato in premessa, di integrare e completare le informazioni di carattere geologico-geotecnico e geofisico ricavate durante le fasi di approfondimento precedenti.

Le indagini dirette sono state volutamente realizzate nelle aree maggiormente interessate da paleocanali o tracce di percorsi fluviali (canali distributori minori e sabbie pleistoceniche del Po) con lo scopo di investigare terreni potenzialmente soggetti a liquefazione e fornire stime circa la pericolosità. Le stesse prove sono servite anche per il corretto studio dei depositi coesivi soffici di area interdistributrice e palude (cedimenti post-sismici attesi), sempre presenti alla scala dell’intero territorio nei primi 20 m di profondità come ampiamente rilevato nelle analisi di II livello di approfondimento.

Le indagini indirette sono invece servite a definire con sempre maggiore dettaglio le velocità di propagazione delle onde S dalla superficie al bedrock sismico, naturalmente con maggiore affidabilità e accuratezza entro i primi 30 m.

	Synthesis s.r.l. Piazza del Popolo civ. 13 – int. 5 44034 – Copparo – Fe Tel. 0532 860546 – Fax 0532 091680 www.synthesisr.com – info@synthesisr.com	STUDIO DI MICORZONAZIONE SISMICA DI III° LIVELLO Relazione Illustrativa	RIF. 119/17-ES-REV00 DEL 29/06/2018
--	---	---	--

I dati complessivamente desunti dalla campagna geognostica attuale, unitamente a quelli ottenuti dalle indagini pregresse eseguite nel corso del II livello di approfondimento, hanno permesso di raggiungere gli obiettivi dello studio: analisi di risposta sismica locale (fattori di amplificazione e spettri di risposta), indici di rischio e parametri quantitativi delle aree instabili (Indice di liquefazione e cedimenti attesi).

Le prove eseguite per lo studio di microzonazione sismica di III Livello sono di seguito elencate:

COPPARO CAPOLUOGO

- n. 2 CPTU (prova penetrometrica a punta elettrica e piezocono) spinte fino a 20 m di profondità da p.c. attuale;
- n. 2 sondaggi a trivella spinti fino a circa 8.00 m di profondità da p.c. attrezzati con piezometro e prelievo di n. 6 campioni di terreno rimaneggiati;
- n. 1 misura a stazione singola del microtremore ambientale con metodo HVSR.
- n. 1 indagine a stazione singola con misura del microtremore ambientale (forzante) per l'analisi sperimentale seditiva del comportamento dinamico di una struttura; nel caso specifico la misura è stata eseguita sull'edificio sede della scuola elementare O. Marchesi.

BRAZZOLO di COPPARO FRAZIONE

- n. 1 CPTU spinta fino a 20 m di profondità da p.c. attuale;
- n. 1 sondaggio a trivella spinto fino a circa 7.00 m di profondità da p.c. attrezzato con piezometro e prelievo di n. 3 campioni di terreno rimaneggiati e n. 1 campione di terreno indisturbato per analisi di laboratorio geotecnico (il campione indisturbato è stato prelevato con campionatore shelby).

COCCANILE FRAZIONE

- n. 1 SCPTU (prova penetrometrica a punta elettrica e piezocono sismico) spinta fino a 30 m di profondità da p.c. attuale;
- n. 1 sondaggio a trivella spinto fino a circa 6.00 m di profondità da p.c. attrezzato con piezometro e prelievo di n. 3 campioni di terreno rimaneggiati;
- n. 1 misura a stazione singola del microtremore ambientale con metodo HVSR.

SALETTA FRAZIONE

- n. 1 SCPTU spinta fino a 30 m di profondità da p.c. attuale;
- n. 1 sondaggio a trivella spinto fino a circa 7.00 m di profondità da p.c. attrezzato con piezometro e prelievo di n. 2 campioni di terreno rimaneggiati;
- n. 1 misura a stazione singola del microtremore ambientale con metodo HVSR.

SABBIONCELLO FRAZIONE

- n.1 profilo in array MASW.

TAMARA FRAZIONE

- n. 1 misura a stazione singola del microtremore ambientale con metodo HVSR.

AMBROGIO FRAZIONE

- n.1 profilo in array MASW;
- n. 1 misura a stazione singola del microtremore ambientale con metodo HVSR.

Si ricorda che le indagini sopraelencate integrano le n. 420 indagini, in gran parte provenienti dall'archivio interno degli scriventi, distribuite sull'intero territorio comunale e costituite da indagini di tipo

 Synthesis s.r.l. Piazza del Popolo civ. 13 – int. 5 44034 – Copparo – Fe Tel. 0532 860546 – Fax 0532 091680 www.synthesisr.com – info@synthesisr.com	STUDIO DI MICORONAZIONE SISMICA DI III° LIVELLO Relazione Illustrativa	RIF. 119/17-ES-REV00 DEL 29/06/2018
--	--	--

geotecnico, geologico e geofisico già considerate e analizzate durante la fase di studio precedente (Livello II).

4.1. Parametri geotecnici

Le prove eseguite per l'analisi di III livello di approfondimento hanno confermato in toto l'assetto del sottosuolo alla scala dell'intero territorio comunale sia dal punto di vista litostratigrafico sia per quanto riguarda la consistenza e quindi la qualità dei terreni presenti.

Si distinguono in generale 3 tipologie di depositi:

- sabbie e sabbie limose prevalenti (canali distributori, argini, tracimazioni);
- limi argillosi e argille limose prevalenti con subordinate intercalazioni di limi sabbiosi (aree interdistributrici);
- argille organiche e torbe prevalenti (paludi, zone depresse con ristagno prolungato delle acque di esondazione).

Le sabbie di canale distributore del Po, costituenti la piana alluvionale pleistocenica, sono generalmente caratterizzate da valori elevati di resistenza alla punta (in media $R_p > 50/100 \text{ Kg/cm}^2$) e presumibilmente sono costituite da sabbie medio-grossolane addensate/mediamente addensate ($Dr \geq 50\%$). Le sabbie pleistoceniche sono presenti con grande continuità alla scala dell'intero territorio comunale di Copparo per profondità in genere $\geq 20 \text{ m}$. Il tetto di tali sabbie mostra comunque variazioni dell'ordine di qualche metro spostandosi da punto a punto.

Le sabbie dei canali distributori minori, che si trovano e si intrecciano a vari livelli lungo la piana interdistributrice (profondità in genere $< 20 \text{ m}$), sono invece caratterizzate da valori di R_p decisamente inferiori, che in genere non superano i 50 Kg/cm^2 ; il loro grado di addensamento è generalmente medio-scarso ($Dr < 50\%$). Si tratta probabilmente di sabbie molto sporche, limose o addirittura di limi sabbiosi. Questi depositi sono presenti con grande discontinuità e variabilità in termini di spessore, profondità ed estensione laterale.

I depositi argillosi e limoso argillosi di area interdistributrice sono, nel complesso, caratterizzati da valori di R_p piuttosto modesti, a testimonianza di un grado medio di compattezza da soffice a moderato. In generale, i valori di coesione non drenata (C_u), ottenuti per correlazione con i valori di R_p misurati durante le numerose prove esaminate, sono in genere inferiori a 0.70 Kg/cm^2 (70 KPa). Questi depositi si rinvencono in modo omogeneo e continuo alla scala dell'intero territorio comunale e sono sicuramente caratterizzati da un'elevata compressibilità.

I depositi francamente torbosi o costituiti da argille organiche sono i più soffici in assoluto, con valori molto scarsi di R_p ($R_p < 0.20 \text{ Kg/cm}^2$) ed elevata compressibilità. Sono presenti in modo discontinuo, spesso sottoforma di sottili (spessore decimetrico o pluridecimetrico) e ripetuti livelli di intercalazione.

Di seguito si riportano i grafici ottenuti dalle prove dirette con andamento dei principali parametri geotecnici utili per le finalità del presente studio (litotipo-*Behaviour Type*, densità relativa-*relative density*, angolo di attrito-*friction angle*, coesione non drenata-*shear strenght S_u*).

In adiacenza alle singole verticali di indagine CPTU-SCPTU, sulla scorta delle informazioni stratigrafiche desunte dalle prove stesse, sono stati eseguiti i sondaggi a trivella con prelievo di campioni sia nel terreno fine coesivo sia nel terreno relativamente più grossolano e incoerente di natura sabbiosa. Lo scopo del prelievo è stato quello di sottoporre i campioni ad analisi di laboratorio geotecnico mirate a determinare il grado di plasticità dei terreni coesivi (Indice Plastico IP) e la curva granulometrica dei terreni sabbiosi. In quest'ultimo caso la curva granulometrica è stata confrontata con i fusi di riferimento indicati dalla DGR2193/2015 per lo studio della potenziale liquefacibilità dei depositi incoerenti.

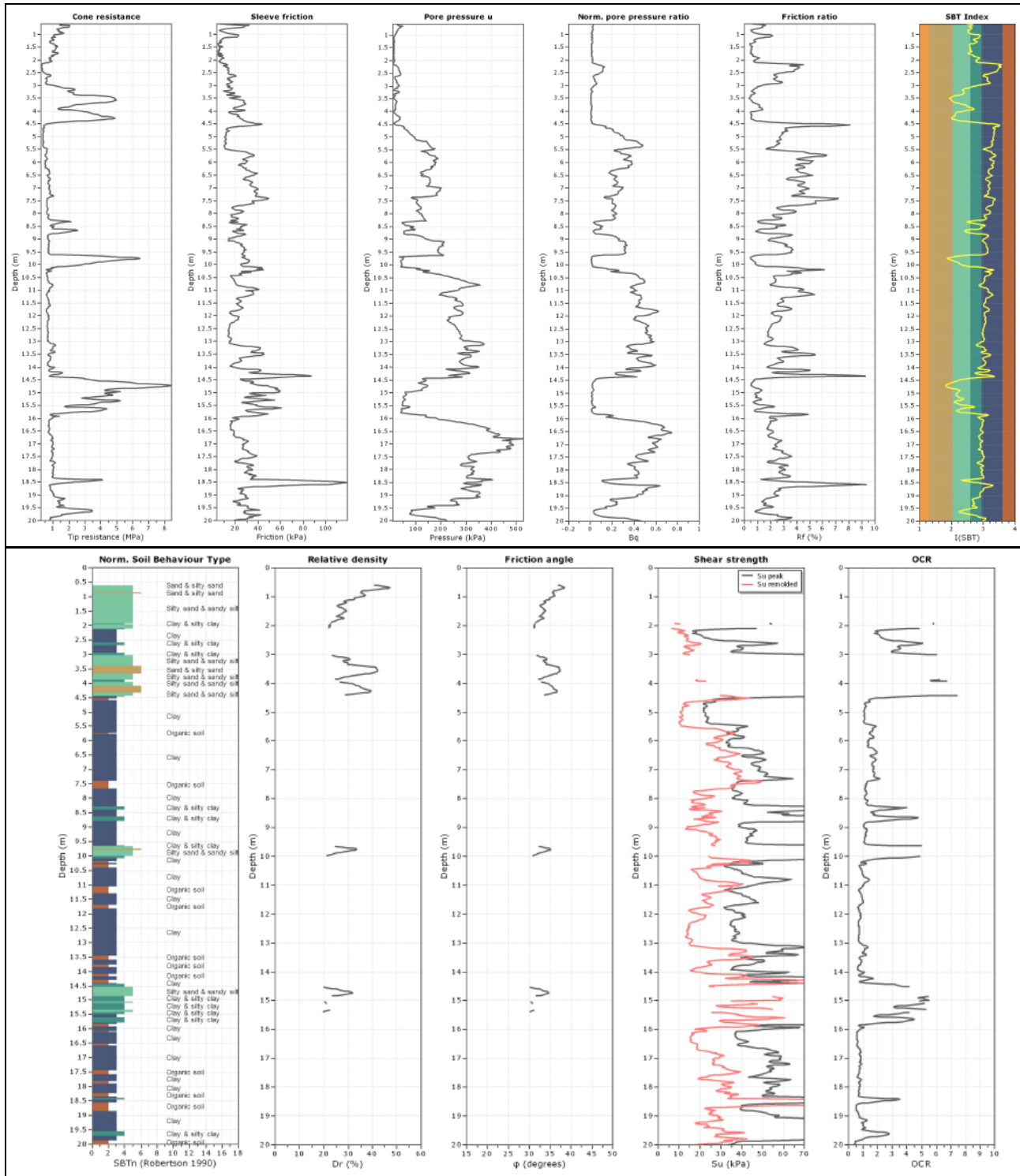


Figura 4.1-1 CPTU3 (Copparo Capoluogo)

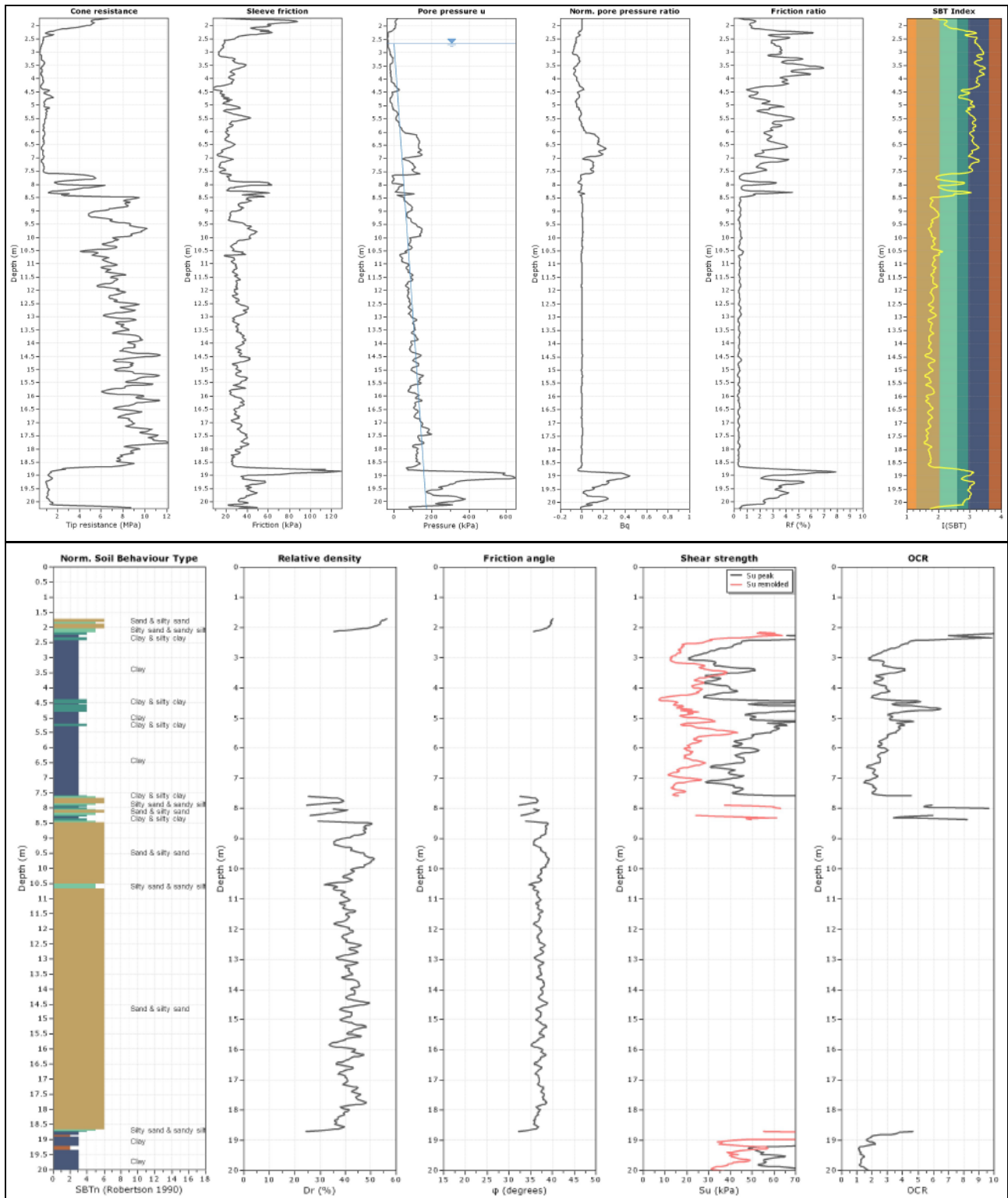


Figura 4.1-2 CPTU4 (Copparo Capoluogo)

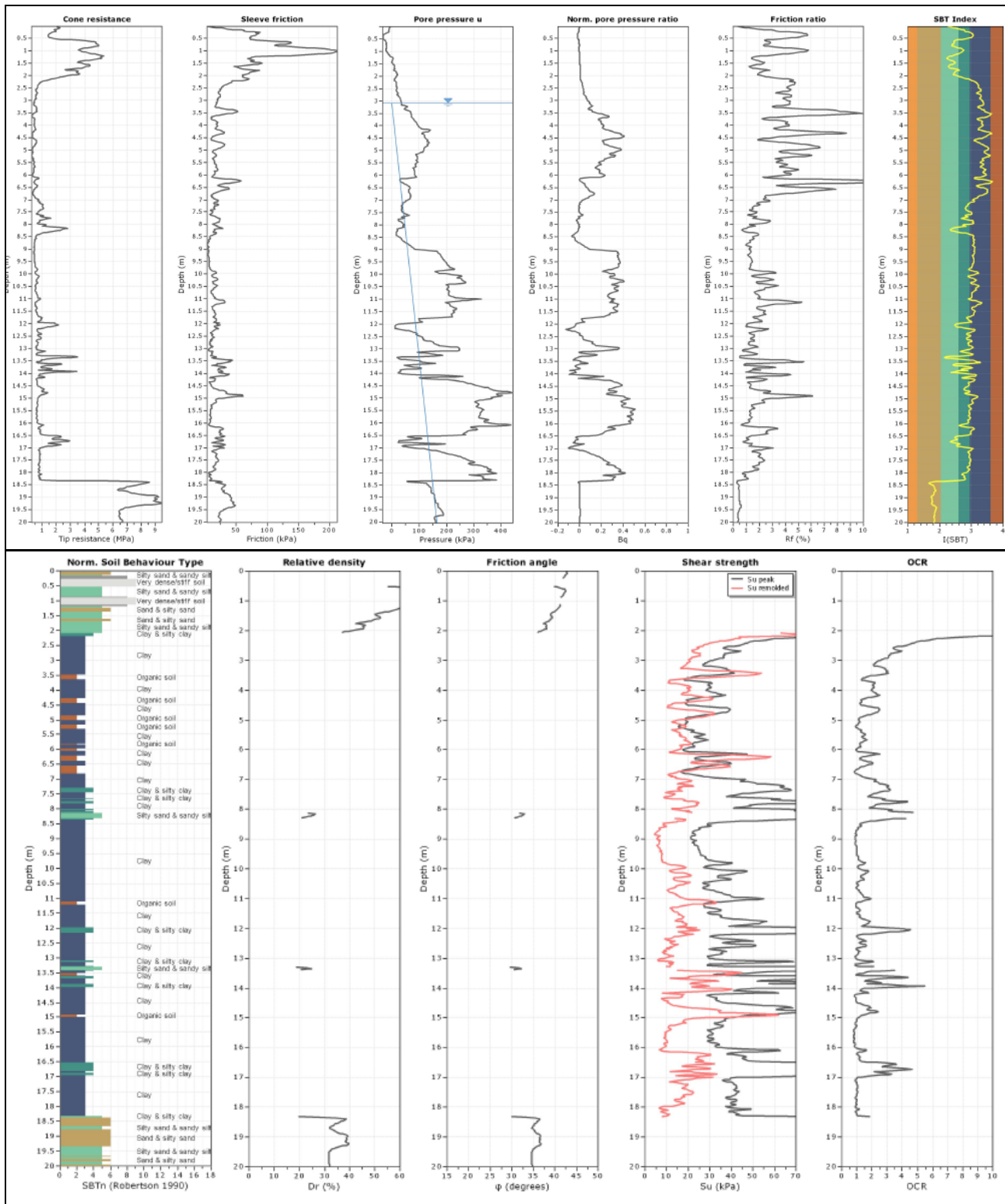


Figura 4.1-3 CPTU10 (Brazzolo di Copparo Frazione)

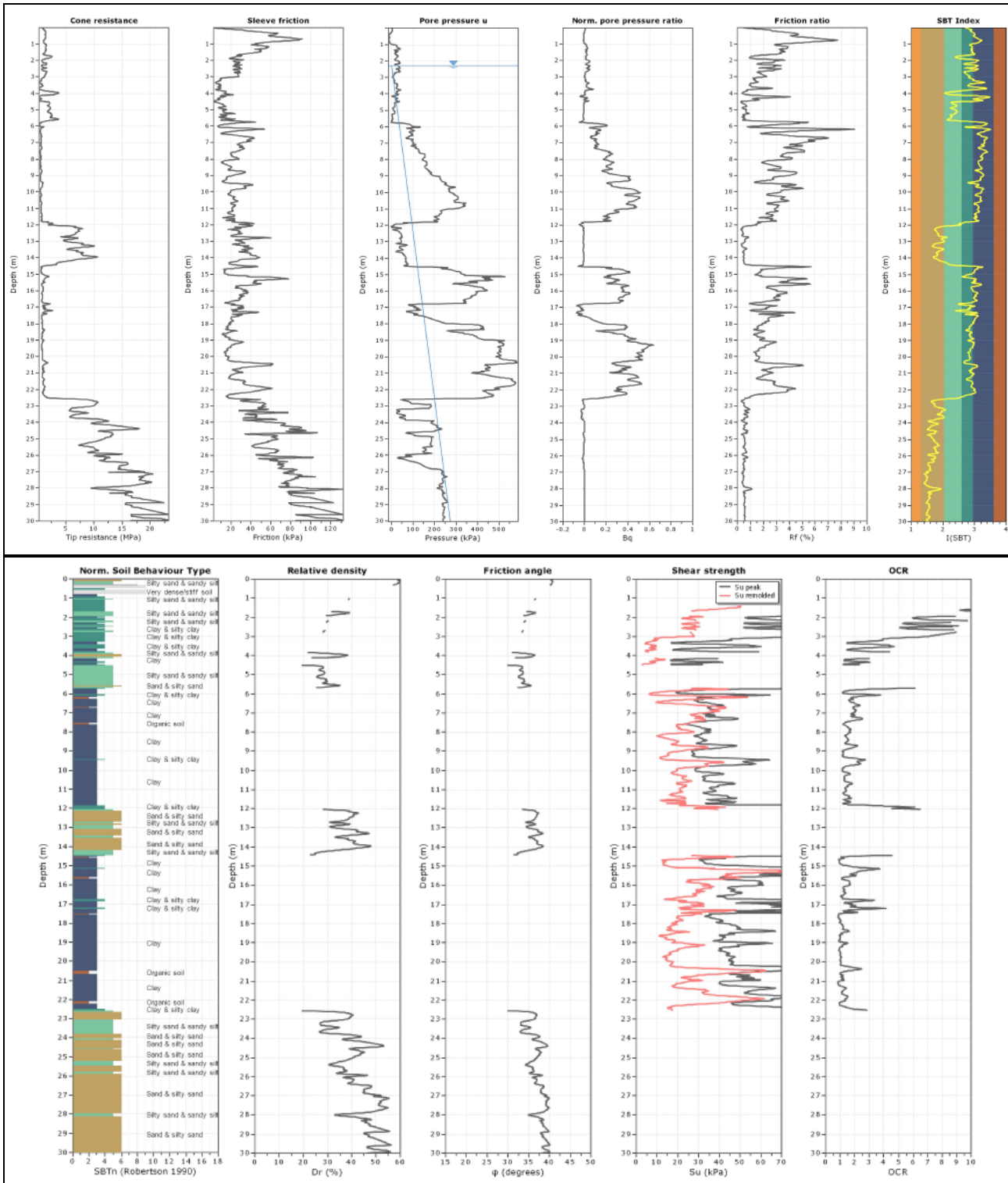


Figura 4.1-4 SCPTU2 (Saletta frazione)

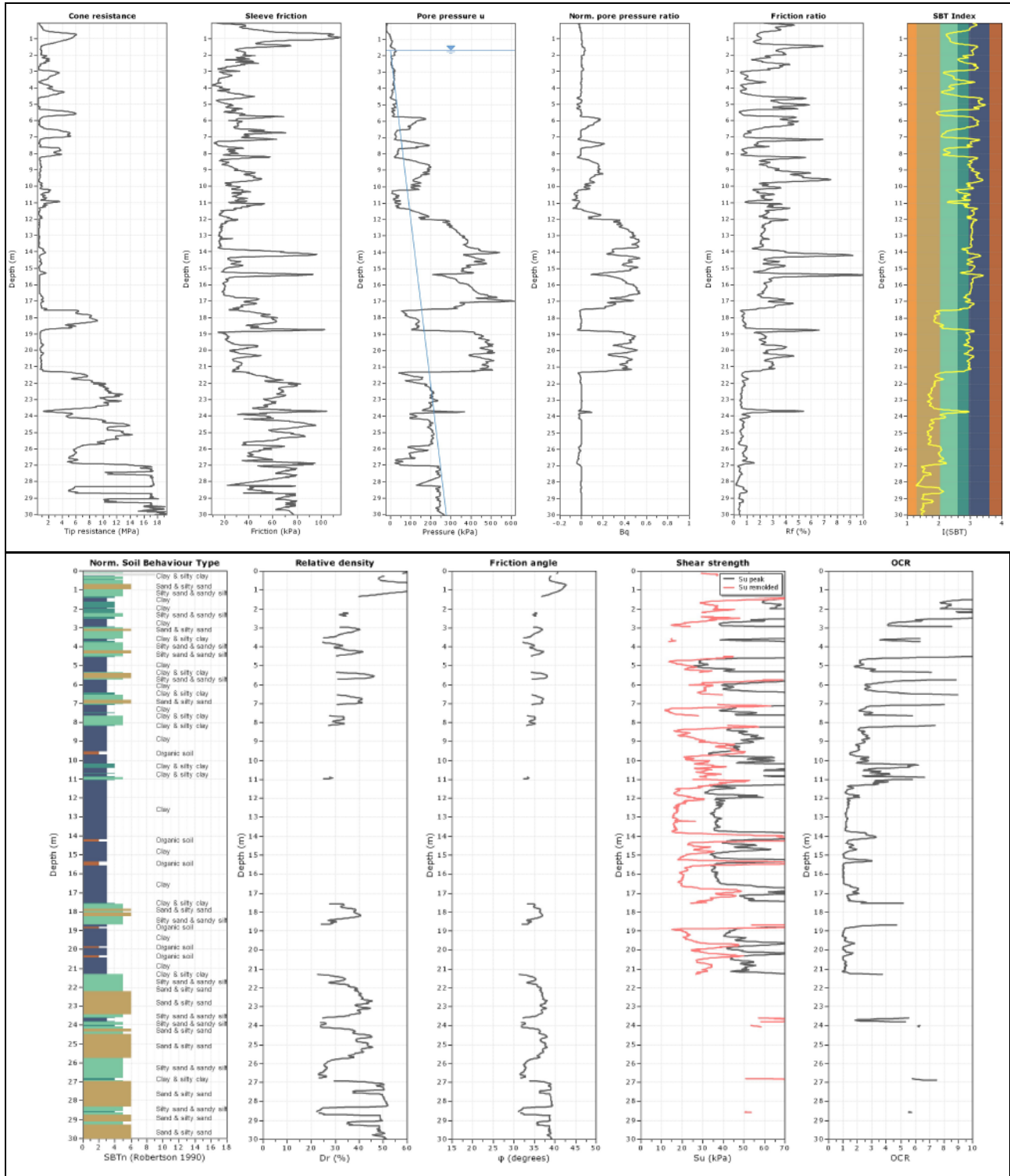


Figura 4.1-5 SCPTU3 (Coccanile frazione)



Mediante i sondaggi a trivella sono stati prelevati i campioni elencati in tabella per le analisi di laboratorio geotecnico. Circa i terreni coesivi, il valore di soglia dell'Indice Plastico fissato al 30 % rappresenta il limite oltre il quale i campioni presentano un grado di plasticità significativo ai fini della stima dei cedimenti post-sismici. A tal proposito, come si vedrà in seguito, il valore di IP ottenuto in laboratorio è stato analizzato unitamente ai valori di coesione non drenata e velocità di propagazione delle onde S rilevate all'interno del medesimo strato come indicato dalla normativa di riferimento.

TABELLA 4.1-1: SINTESI DEI RISULTATI PROVE DI LABORATORIO TERRENI INCOERENTI

SITO	PROF. PRLEIEVO (m)	PROVA CORRISPONDE NTE	LITOTIP O	ANALISI ESEGUITE	Ghia ia (%)	Sabbia (%)	Limo (%)	Argilla (%)
COPPARO CAPOLUOGO	3.00- 4.70	S3-C2	SABBIA LIMOSA	ANALISI GRANULOMETRICA	0.03	59.75	35.08	5.14
COPPARO CAPOLUOGO	7.95- 8.70	S4-C3	SABBIA LIMOSA	ANALISI GRANULOMETRICA	0.78	49.17	46.27	3.78
BRAZZOLO FRAZIONE	1.70- 2.25	S10-C1	SABBIA LIMOSA	ANALISI GRANULOMETRICA	0.46	27.97	67.55	4.02
COCCANILE FRAZIONE	3.30- 4.10	S13-C1	SABBIA LIMOSA	ANALISI GRANULOMETRICA	0.00	60.98	34.19	4.83
COCCANILE FRAZIONE	5.45- 5.80	S13-C3	SABBIA LIMOSA	ANALISI GRANULOMETRICA	0.00	52.42	39.61	7.97
SALETTA FRAZIONE	4.70- 5.80	S12-C1	SABBIA LIMOSA	ANALISI GRANULOMETRICA	0.04	60.42	36.39	3.15

TABELLA 4.1-2: SINTESI DEI RISULTATI PROVE DI LABORATORIO TERRENI COESIVI

SITO	PROF. PRLEIEVO (m)	PROVA CORRISPONDENTE	LITOTIPO	ANALISI ESEGUITE	VALORE IP medio (%)	VALORE DI SOGLIA (%) (DGR2193 /2015)
COPPARO CAPOLUOGO	2.10-3.00	S3-C1	LIMO/ARGILLA	LIMITI DI ATTERBERG	18.4 (<)	30
COPPARO CAPOLUOGO	4.90-5.70	S3-C3	LIMO/ARGILLA	LIMITI DI ATTERBERG	20.2 (<)	30
COPPARO CAPOLUOGO	2.60-4.30	S4-C1	LIMO/ARGILLA	LIMITI DI ATTERBERG	28.9 (<)	30
COPPARO CAPOLUOGO	5.40-6.60	S4-C2	LIMO/ARGILLA	LIMITI DI ATTERBERG	26.5 (<)	30
BRAZZOLO FRAZIONE	2.80-3.60	S10-C2	LIMO/ARGILLA	LIMITI DI ATTERBERG	33.4 (>)	30
BRAZZOLO FRAZIONE	5.90-6.70	S10-C3	LIMO/ARGILLA	LIMITI DI ATTERBERG	39.6 (>)	30
COCCANILE FRAZIONE	4.50-5.30	S13-C2	LIMO/ARGILLA	LIMITI DI ATTERBERG	20.0 (<)	30
SALETTA FRAZIONE	6.20-6.60	S12-C2	SABBIA LIMOSA	ANALISI GRANULOMETRICA	23.9 (<)	30



4.2. Parametri geofisici

INDAGINI SUOLO

Le prove che sono state seguite nella campagna geognostica 2018 per il III Livello di approfondimento sono elencate di seguito:

- n. 2 prove SCPTU
- n. 2 profili in array di tipo MASW
- n. 5 misure a stazione singola del microtremore ambientale con tecnica HVSR

Dove possibile, il profilo verticale di V_s è stato stimato mediante fit congiunto tra lo spettro di velocità di fase delle onde R (Rayleigh) e la curva sperimentale H/V registrata con la tecnica HVSR.

L'area investigata è caratterizzata da valori di velocità delle onde di taglio S (V_s) caratteristici di terreni da molto soffici (argille e torbe con $V_s < 180$ m/s) a compatti/addensati (sabbie del Po con $V_s \approx 250$ m/s). Le velocità delle onde S, nel complesso, tendono ad aumentare con la profondità in modo abbastanza graduale fino all'interfaccia tra i depositi di pianura deltizia di età olocenica e le sabbie medio-grossolane di riempimento canale (canale distributore) del fiume Po di età pleistocenica. In corrispondenza di tale superficie, posta a profondità variabile, che in media corrisponde all'intervallo 20 m circa, le V_s subiscono un deciso innalzamento per poi tornare ad aumentare gradualmente con la profondità.

L'elaborazione delle curve HVSR, associate ai profili in array (MASW e ESAC), ha permesso di estendere la modellazione delle V_s fino a profondità di oltre 100 m. Si rileva la presenza di amplificazioni locali del moto del suolo per risonanza stratigrafica a contrasto d'impedenza in genere basso ($F_0 \approx 2$) nell'intervallo di frequenze 1-2 Hz. Per frequenze < 1 Hz si registrano altre amplificazioni a contrasto d'impedenza da basso ($F_0 \approx 2$) a moderato ($2 < F_0 < 3$).

Il bedrock sismico con $V_s = 800$ m/s è sicuramente profondo oltre i 200-250 m almeno.

Il comportamento in campo dinamico del terreno, è stato definito mediante prove di laboratorio geotecnico in colonna risonante. I campioni analizzati sono rappresentativi rispettivamente della frazione coesiva argillosa (0-20 m) e di quella incoerente sabbiosa (20-30 m). I campioni sono stati prelevati nell'area di Ro mediante un sondaggio a carotaggio continuo a rotazione spinto fino a 30 m di profondità. I terreni carotati si ritengono assolutamente rappresentativi e del tutto simili a quelli presenti nel territorio di Copparo. Le curve di laboratorio (curve degrado modulo di taglio e smorzamento) sono state impiegate nell'analisi di risposta sismica locale come descritto in seguito.

Le figure seguenti mostrano i risultati sperimentali delle indagini geofisiche effettuate in termini di profilo V_s -profondità, spettro di velocità di fase dell'onda di Rayleigh (profilo MASW e ESAC) e di frequenze di risonanza del sottosuolo (curva H/V da misura a stazione singola).

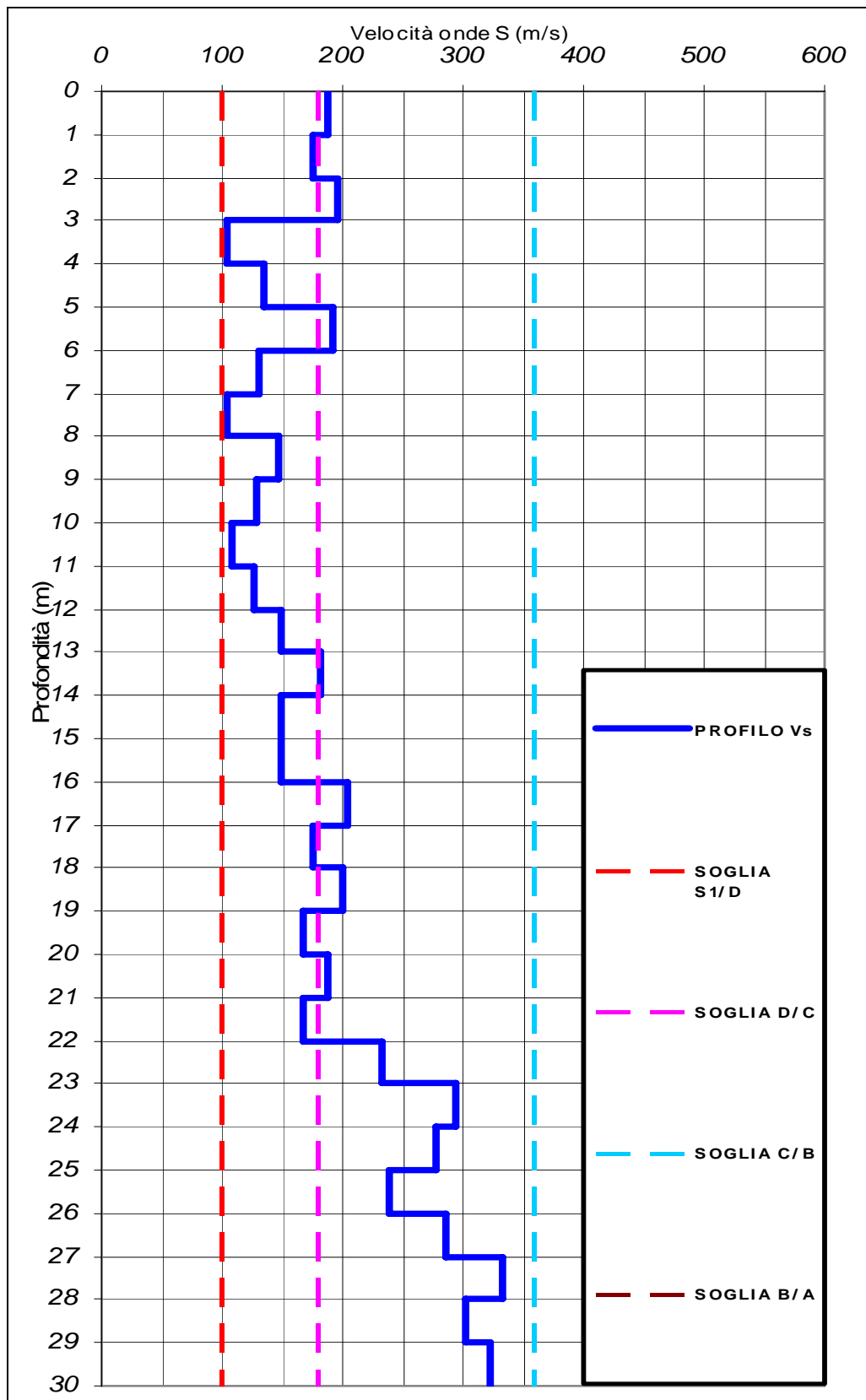


Figura 4.2-1 – Profilo di velocità onde S da SCPTU2 eseguita presso Saletta frazione

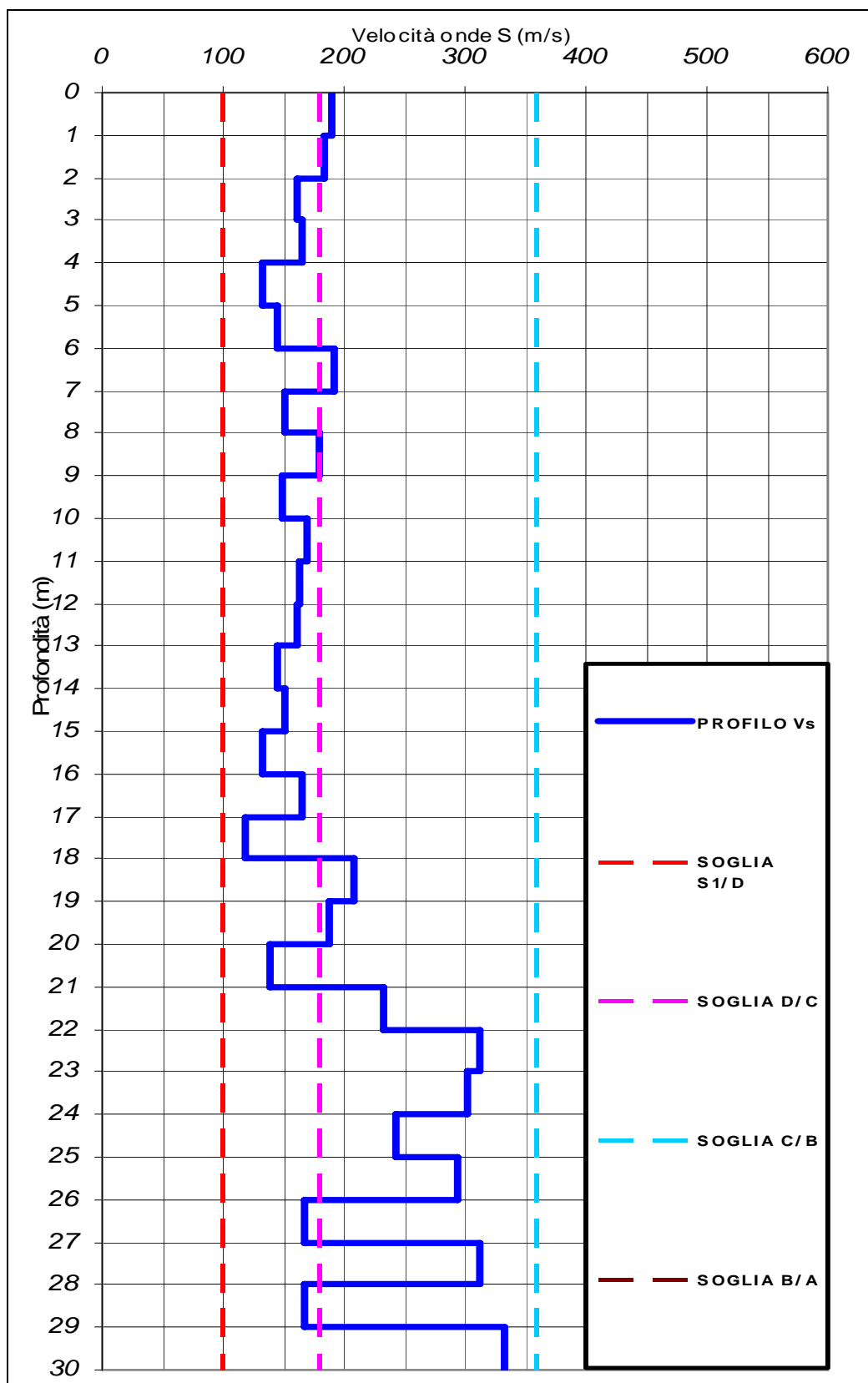


Figura 4.2-2 – Profilo di velocità onde S da SCPTU3 eseguita presso Coccanile frazione

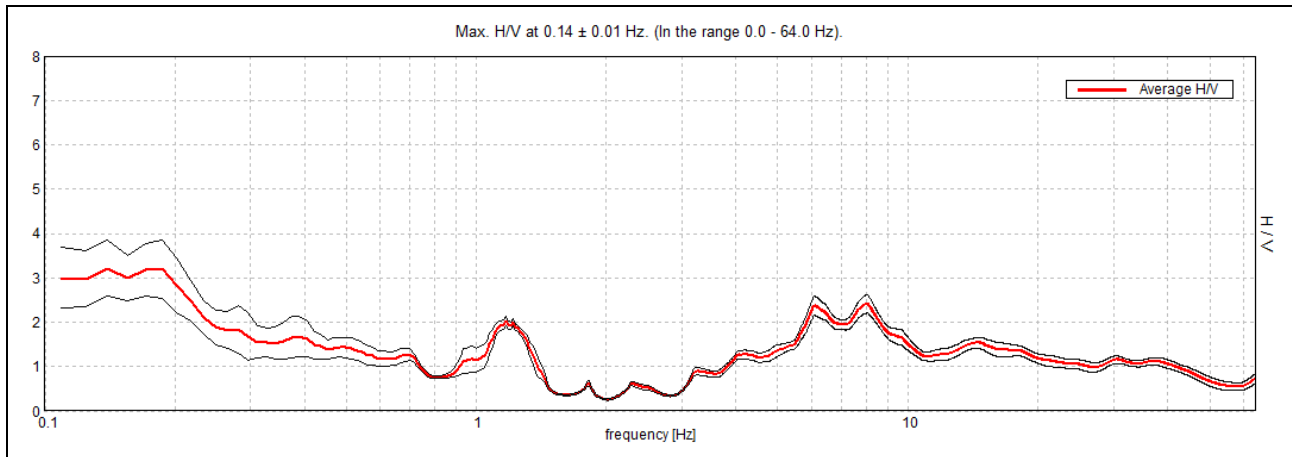


Figura 4.2-3 – Curva sperimentale H/V registrate a Copparo capoluogo

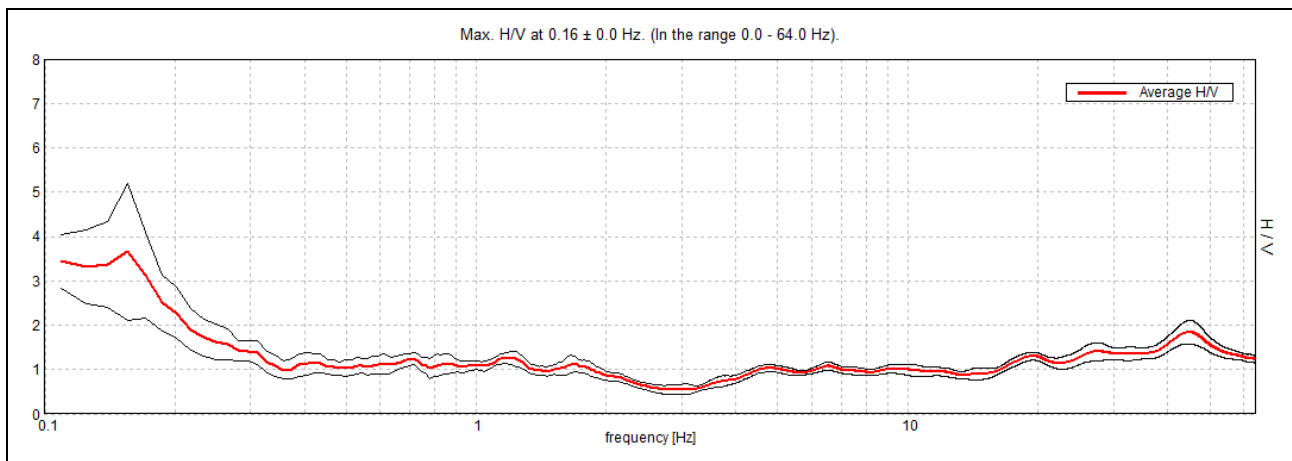


Figura 4.2-4 – Curva sperimentale H/V registrate a Coccanile frazione

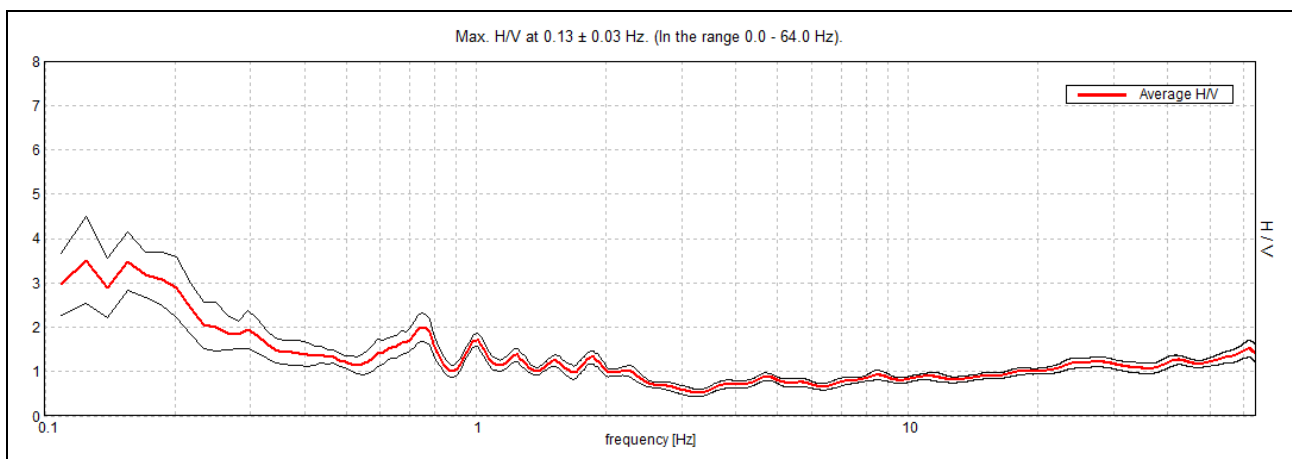


Figura 4.2-5 – Curva sperimentale H/V registrate a Saletta frazione

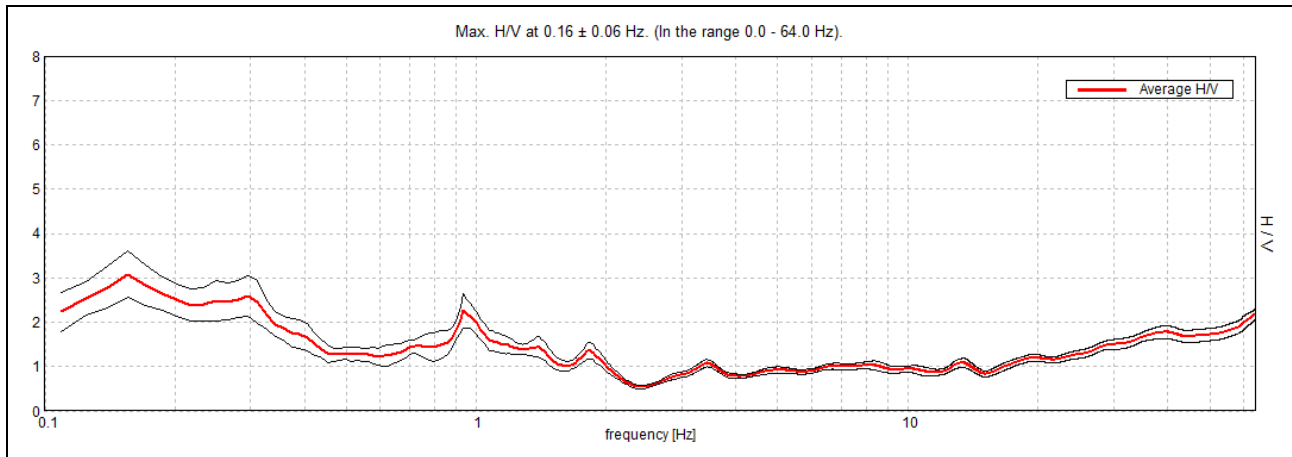


Figura 4.2-6 – Curva sperimentale H/V registrate a Tamara frazione

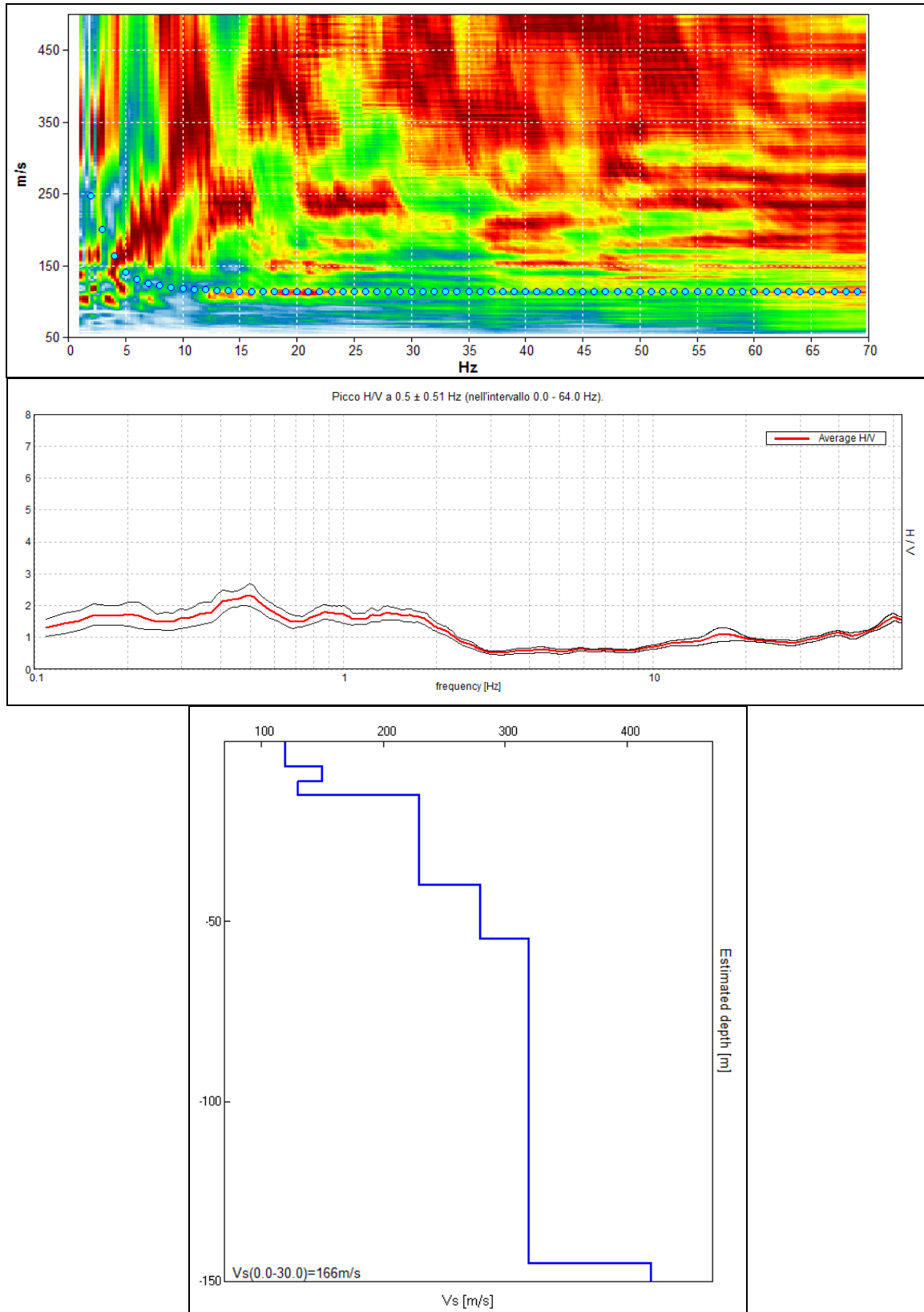


Figura 4.2-7 – Spettro Masw e Curva sperimentale H/V registrate ad Ambrogio frazione

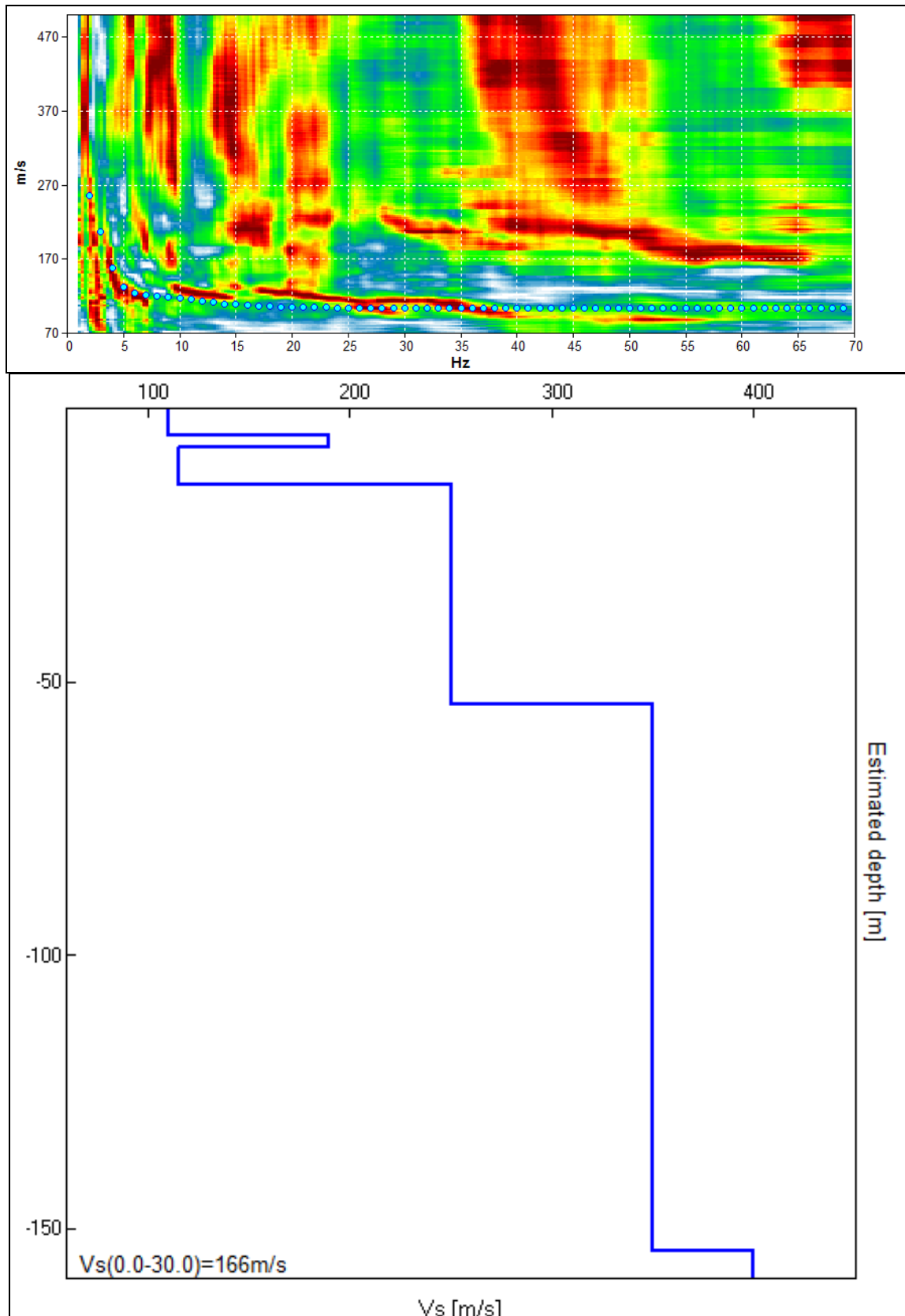


Figura 4.2-8 – Spettro Masw ottenuto da profilo sismico eseguito a Sabbioncello frazione

Nella tabella seguente si riepilogano i risultati ottenuti dalle prove analizzate:

TABELLA 4.2-1: SINTESI DEI RISULTATI DELLE INDAGINI GEOFISICHE

SITO	TIPO DI PROVA	VS30	AMPLIFICAZIONE STRATIGRAFICA	MAX H/V	AMPIEZZA PICCO	COMMENTI
AMBROGIO FRAZIONE	MASW + HVSR	166 m/s	Intervallo 1-2 Hz e freq. < 1 Hz	≈ 0.5 Hz	basso	<p>Vs tipiche di terreni soffici specie nei primi 20 m circa da p.c.</p> <p>I picchi H/V riguardano ampi intervalli di frequenza; non si individua un picco stretto chiaro. L'amplificazione a basso contrasto registrata a 1-2 Hz è associabile al contatto tra depositi soffici e sabbie del Po posto a circa 20 m presente alla scala dell'intera area. Le amplificazioni per frequenze < 1 Hz (da basse a moderate) sono riferibili a contrasti profondi ≥ 100 m</p>
SABBIONCELLO FRAZIONE	MASW	166 m/s	-	-	-	
SALETTA FRAZIONE	SCPTU2 + HVSR	173 m/s	Intervallo 1-2 Hz e freq. < 1 Hz	0.75 Hz	basso	
COCCANILE FRAZIONE	SCPTU3 + HVSR	178 m/s	curva piatta	-	-	
COPPARO CAPOLUOGO	HVSR	-	Intervallo 1-2 Hz e freq. < 1 Hz	≈ 1.0 Hz	basso	
TAMARA FRAZIONE	HVSR	-	Intervallo 1-2 Hz e freq. < 1 Hz	0.3 Hz	moderato	

 Synthesis s.r.l. Piazza del Popolo civ. 13 – int. 5 44034 – Copparo – Fe Tel. 0532 860546 – Fax 0532 091680 www.synthesisr.com – info@synthesisr.com	STUDIO DI MICORZONAZIONE SISMICA DI III° LIVELLO Relazione Illustrativa	RIF. 119/17-ES-REV00 DEL 29/06/2018
--	---	--

INDAGINI STRUTTURA

Come già accennato, in corrispondenza dell'edificio sede della scuola elementare "O. Marchesi", è stata eseguita un'indagine a stazione singola con misura del microtremore ambientale (forzante) per analizzare sperimentalmente il comportamento dinamico della struttura. In particolare si è tentato, in modo speditivo, di individuare la frequenza del primo modo flessionale di vibrazione (ed eventualmente anche quella dei modi superiori) del fabbricato in oggetto. Lo scopo è stato quello di permettere un primo e indicativo confronto tra la frequenza di vibrazione di una struttura presente sul territorio e le frequenze di risonanza del suolo al fine di stabilire la possibilità di effetti di doppia risonanza terreno-struttura.

Le misure a stazione singola, eseguite con tomografo digitale (lo stesso impiegato per le registrazioni al suolo), prevedono la registrazione in seno alla struttura del microtremore ambientale (forzante) sempre presente e costituito da rumore antropico e rumore naturale (vento, perturbazioni atmosferiche etc.); pertanto non sono state utilizzate sorgenti energetiche esterne quali masse battenti, esplosivi o altro.

Son ostate eseguite in totale n. 2 misure, al piano terra e al piano più alto lungo la stessa verticale. Lo strumento impiegato è dotato di n. 3 canali velocimetrici orientati nelle 3 direzioni dello spazio (due componenti Orizzontali: N-S;E-W e una componente Verticale: UP-DOWN) in grado di campionare e registrare il microtremore ambientale (0.1 – 0.0001 mm/s) proveniente in modo casuale da tutte le direzioni dello spazio.

Lo strumento di misura è stato posto a diretto contatto con il pavimento/solaio in modo che fosse solidale con la struttura. Gli assi strumentali denominati N-S e E-W, da non confondere con il nord-sud ed est-ovest geografici, sono stati sempre disposti parallelamente ai principali assi strutturali. In particolare l'asse strumentale N-S è stato posto perpendicolarmente al lato lungo dell'edificio.

La tecnica di indagine impiegata, denominata SSR (Standard Spectral Ratio) prevede la rimozione dell'effetto del sottosuolo (misura eseguita a piano terra) dalle registrazioni eseguite ai diversi piani della struttura (in questo caso il piano più alto). Nell'analisi sono considerati esclusivamente i rapporti tra le componenti di vibrazione orizzontali Nord-Sud (N-S) e Est-Ovest (E-W) mentre si trascura l'effetto sulla componente verticale UP-DOWN.

Di seguito si mostrano i risultati sperimentali ottenuti:

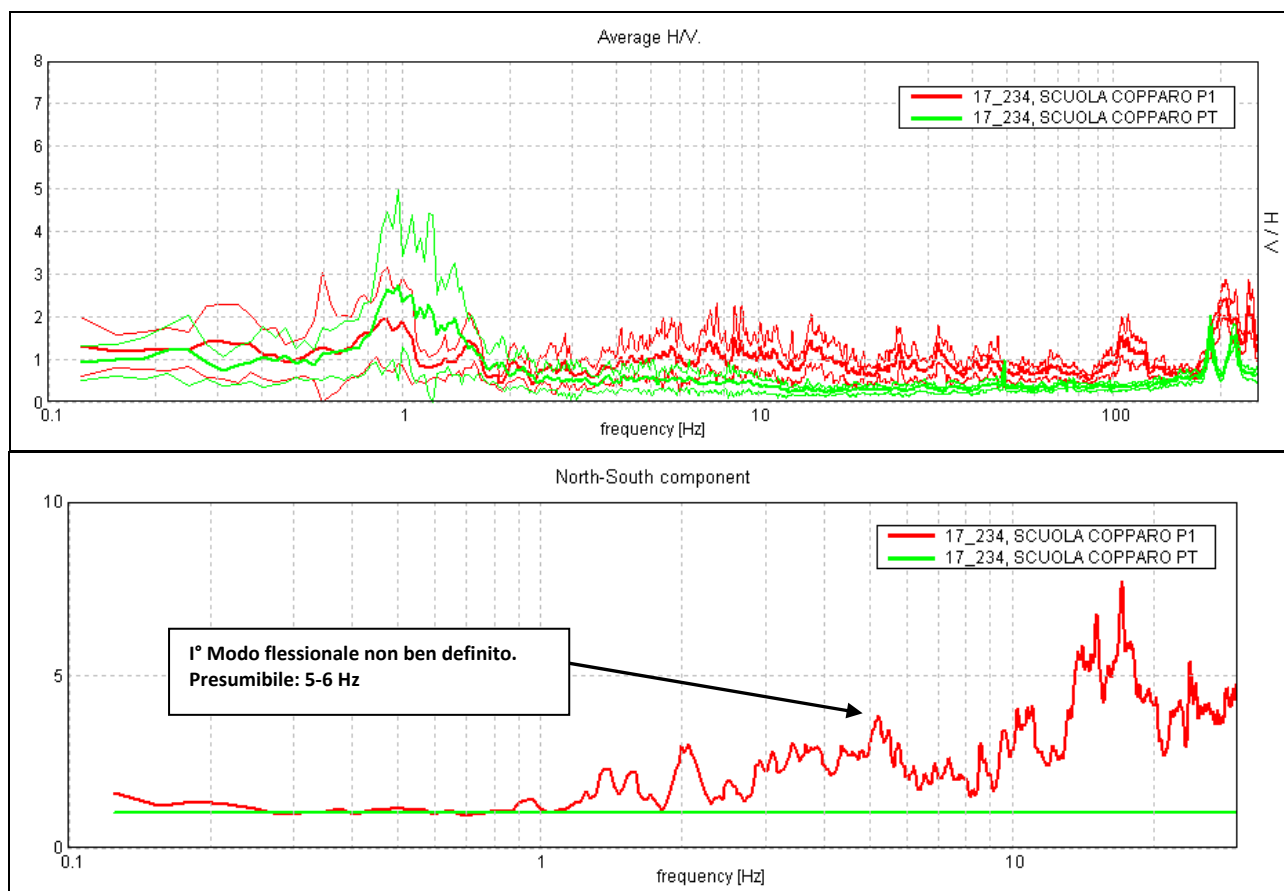


Figura 4.2-9 – Modi di vibrare della struttura esaminata

Il primo modo flessionale non è ben definito, probabilmente causa dell'elevata inerzia della struttura data dalla sua geometria e altezza. Il 1° modo flessionale di vibrazione dell'edificio potrebbe essere individuato a circa 5-6 Hz.

5. MODELLO DEL SOTTOSUOLO

Sulla base delle prove analizzate e dei risultati ottenuti nel corso del III livello di approfondimento, considerando tutte le informazioni e le conoscenze di carattere geologico e geomorfologico, le indagini geognostiche consultate ed eseguite nel corso del II livello di analisi, è possibile fornire il seguente modello di sottosuolo di sintesi:

TABELLA 5-1: MODELLO SCHEMATICO DEL SOTTOSUOLO NELL'AREA COMUNALE DI COPPARO E SUE FRAZIONI

UNITA'	DESCRIZIONE	PERIODO	PROFONDITA'	COMPATTEZZA ADDENSAMENT O DEPOSITO	FREQ. RISONANZ A PRINCIPALE	Vs MEDIA
A	Unità dei canali distributori e delle aree interdistributrici di piana deltizia	OLOCENE	0-20 m circa	soffice (frazione coesiva) addensamento medio-scarso (frazione granulare)	1-2 Hz e freq. < 1 Hz con ampiezza in genere da bassa	Vs < 180 m/s
C	Unità della pianura alluvionale pleistocenica del Fiume Po	PLEISTOCENE	> 20 m circa	addensamento medio-alto (granulare)	($F_0 \approx 2$) a moderata ($2 < F_0 < 3$)	Vs > 200 m/s

L'unità **A** è costituita da tutti quei depositi di età olocenica (10000 anni fa – attuale) depositi in ambiente di piana deltizia del fiume Po. E' costituita principalmente da depositi fini coesivi soffici di natura argillosa e limosa che rappresentano depositi di area interdistributrice depositi durante le frequenti e ripetute esondazioni dei canali distributori. Quest'ultimi sono caratterizzati invece da depositi granulari incoerenti (sabbie, sabbie limose, limi sabbiosi) di canale distributore minore, argine, rotta e tracimazioni, con densità relativa medio-scarso. I livelli sabbiosi sono in genere subordinati in termini di spessore rispetto agli strati coesivi.

Frequentemente si incontrano livelli torbosi che testimoniano periodi di ristagno delle acque più lunghi e condizioni di energia molto bassa. Allontanandosi progressivamente dall'asse del canale distributore la tessitura dei depositi diminuisce progressivamente. La base dell'unità A è rappresentata dalle sabbie pleistoceniche del Fiume Po, che ovunque nel territorio comunale, sono presenti a circa 15-20 m di profondità.

L'Unità **C** è rappresentata dalle sabbie pleistoceniche di pianura alluvionale del Po. Sono sabbie per lo più di riempimento canale (canale-barra-argine), medio grossolane con lamine di trazione, presenti in modo continuo ed omogeneo in quanto saldate lateralmente in modo da formare un livello continuo per diversi chilometri.

Tutti i depositi sopradescritti (Unità A e Unità C) sono suscettibili di amplificazione locale per risonanza stratigrafica; si trascurano gli effetti topografici in quanto l'area è pianeggiante. I depositi appartenenti all'Unità A sono, per le loro caratteristiche tessiture, di consistenza e per le profondità a cui si trovano, suscettibili di instabilità per densificazione (frazione coesiva soffice) e liquefazione (frazione granulare incoerente satura).

Si evidenzia come, alla scala dell'intera Unione dei Comuni Terre e Fiumi, è stata riconosciuta la presenza di un'ulteriore unità, denominata **Unità B**. Questa è stata inserita al fine di distinguere le porzioni

 Synthesis s.r.l. Piazza del Popolo civ. 13 – int. 5 44034 – Copparo – Fe Tel. 0532 860546 – Fax 0532 091680 www.synthesisr.com – info@synthesisr.com	STUDIO DI MICRORAZIONE SISMICA DI III° LIVELLO Relazione Illustrativa	RIF. 119/17-ES-REV00 DEL 29/06/2018
--	---	--

di sottosuolo caratterizzate da una forte e importante presenza di terreni fini organici e torbosi. Si tratta di aree in passato depresse e pressoché sempre invase dalle acque di tracimazione che ristagnavano per tempi molto lunghi, consentendo la deposizione di potenti spessori di argille miste ad abbondante frazione organica e a significativi spessori di torba (sempre > 1 m). Tale unità non è presente nel territorio comunale di Copparo.

6. INTERPRETAZIONI ED INCERTEZZE

Come precedentemente descritto, ai fini del presente studio sono state utilizzate le seguenti banche dati:

- archivio prove e dati di Synthesis S.r.l.;
- banca dati del Servizio Geologico Sismico e de i Suoli Regione Emilia-Romagna;
- banca dati del Comune di Copparo;
- prove geofisiche eseguite ex-novo per il III Livello di approfondimento al fine di integrare i dati in possesso laddove carenti o confermare risultati precedentemente ottenuti.

Le unità litostratigrafiche descritte, i valori geotecnici associati e gli spessori riportati sono da considerarsi validi a scala generale; tuttavia, data la copertura non omogenea e totale del territorio dal punto di vista delle prove geognostiche, si ritengono possibili variazioni locali in termini di qualunque elemento considerato (spessore, resistenze, litologia, Vs etc...).

In fase di nuove edificazioni e di sviluppo urbanistico sono sempre necessarie specifiche e puntuali indagini a conferma o smentita dell'assetto geologico-sismico proposto per l'area comunale di Copparo.

7. METODOLOGIE DI ELABORAZIONE E RISULTATI

Le metodologie di elaborazione impiegate nel presente studio e i risultati di III livello di approfondimento sono i seguenti:

TABELLA 7-1: SCHEMA METODOLOGICO APPLICATO

EFFETTI LOCALI	Obiettivo	Metodologia	Risultato
AMPLIFICAZIONI STRATIGRAFICHE DEL MOTO SISMICO	Stima fattori di amplificazione sismica e spettri di risposta per l'area comunale di Copparo e sue frazioni	<ul style="list-style-type: none"> • Calcolo numerico della risposta sismica locale mediante codice di calcolo STRATA (<i>Equivalent linear site response analysis</i>). Modello Vs-profondità basato su indagini SCPTU-MASW-HVSR-ESAC; Litologia strati desunta da prove CPT, CPTU, Sondaggi profondi, Database Servizio Geologico E-R; Comportamento dinamico terreni ottenuto da prove di laboratorio in Colonna Risonante. 	<ul style="list-style-type: none"> • Spettro di risposta elastico 1-sigma (spettro medio + deviazione standard); • Valori del rapporto PGA/PGA_0 (fattore di amplificazione F.A.); • Valori del rapporto S_I/S_{I_0} (Housner);
INSTABILITA' DEI SUOLI IN CASO DI SISMA	Stima dell'Indice di liquefazione I_L e della relativa classe di pericolosità nei terreni incoerenti in falda (canali distributori, argini, rotte)	<ul style="list-style-type: none"> • Analisi dei dati ottenuti dalle prove CPTU e CPT con metodo di Boulanger & Idriss (2014) e stima di I_L con metodo di Somnez (2003); • Analisi delle curve granulometriche ottenute in laboratorio geotecnico e confronto con i fusi di riferimento indicati dalla normativa vigente (DGR 2193/2015). 	<ul style="list-style-type: none"> • Andamento del fattore di sicurezza alla liquefazione con la profondità fino a 20 m; • Stima del valore di I_L e attribuzione della classe di pericolosità alla liquefazione; • Considerazioni circa i fusi granulometrici.
INSTABILITA' DEI SUOLI IN CASO DI SISMA	Stima dei cedimenti attesi post-sisma (aree interdistributrici e paludi)	<ul style="list-style-type: none"> • Analisi dei dati ottenuti dalle prove CPTU e di laboratorio geotecnico con individuazione dei livelli dove: $C_u < 70$ KPa, $V_s < 180$ m/s e $IP > 30\%$. • Prove edometriche per analisi della compressibilità dei livelli di terreno ove sono verificate le condizioni di cui al punto precedente. 	<ul style="list-style-type: none"> • Stima indicativa del cedimento permanente post-sismico a carico della frazione coesiva soffice (compattazione dinamica).

 Synthesis s.r.l. Piazza del Popolo civ. 13 – int. 5 44034 – Copparo – Fe Tel. 0532 860546 – Fax 0532 091680 www.synthesisr.com – info@synthesisr.com	STUDIO DI MICORZONAZIONE SISMICA DI III° LIVELLO Relazione Illustrativa	RIF. 119/17-ES-REV00 DEL 29/06/2018
--	---	--

8. ELABORATI CARTOGRAFICI

Il presente studio, come prescritto dalla DGR 2193/2015, è corredato da una serie di elaborati cartografici di seguito elencati:

Terzo livello di approfondimento:

- Carta delle indagini in scala 1:20.000 (carta unica) e distinte per le frazioni di Tamara e Saletta (1° di 8), Fossalta (2° di 8), Sabbioncello San Pietro e Sabbioncello San Vittore (3° di 8), Gradizza e Brazzolo (4° di 8), Copparo Ovest (5° di 8), Copparo Est (6° di 8), Cesta e Coccanile (7° di 8) e Ambrogio (8° di 8), tutte in scala 1:5.000;
- Carta delle frequenze naturali dei terreni in scala 1:20.000 (carta unica) e distinte per le frazioni di Tamara e Saletta (1° di 8), Sabbioncello San Pietro e Sabbioncello San Vittore (3° di 8), Gradizza e Brazzolo (4° di 8), Copparo Ovest (5° di 8), Copparo Est (6° di 8), Cesta e Coccanile (7° di 8) e Ambrogio (8° di 8), tutte in scala 1:5.000;
- Carta delle velocità delle onde di taglio S (Vs) in scala 1:20.000 (carta unica) e distinte per le frazioni di Tamara e Saletta (1° di 8), Fossalta (2° di 8), Sabbioncello San Pietro e Sabbioncello San Vittore (3° di 8), Gradizza e Brazzolo (4° di 8), Copparo Ovest (5° di 8), Copparo Est (6° di 8), Cesta e Coccanile (7° di 8) e Ambrogio (8° di 8), tutte in scala 1:5.000;
- Carta dei fattori di amplificazione – Accelerazione Massima Orizzontale (F.A. $PGA = PGA/PGA_0$) in scala 1:20.000 (carta unica) e distinte per le frazioni di Tamara e Saletta (1° di 8), Fossalta (2° di 8), Sabbioncello San Pietro e Sabbioncello San Vittore (3° di 8), Gradizza e Brazzolo (4° di 8), Copparo Ovest (5° di 8), Copparo Est (6° di 8), Cesta e Coccanile (7° di 8) e Ambrogio (8° di 8), tutte in scala 1:5.000;
- Carta dei fattori di amplificazione – Intensità di Housner (SI/SI_0)(F.A. 0,1 – 0,5s) in scala 1:20.000 (carta unica) e distinte per le frazioni di Tamara e Saletta (1° di 8), Fossalta (2° di 8), Sabbioncello San Pietro e Sabbioncello San Vittore (3° di 8), Gradizza e Brazzolo (4° di 8), Copparo Ovest (5° di 8), Copparo Est (6° di 8), Cesta e Coccanile (7° di 8) e Ambrogio (8° di 8), tutte in scala 1:5.000;
- Carta dei fattori di amplificazione – Intensità di Housner (SI/SI_0)(F.A. 0,5 – 1s) in scala 1:20.000 (carta unica) e distinte per le frazioni di Tamara e Saletta (1° di 8), Fossalta (2° di 8), Sabbioncello San Pietro e Sabbioncello San Vittore (3° di 8), Gradizza e Brazzolo (4° di 8), Copparo Ovest (5° di 8), Copparo Est (6° di 8), Cesta e Coccanile (7° di 8) e Ambrogio (8° di 8), tutte in scala 1:5.000;
- Carta dei fattori di amplificazione – Intensità di Housner (SI/SI_0)(F.A. 0,5 – 1,5s) in scala 1:20.000 (carta unica) e distinte per le frazioni di Tamara e Saletta (1° di 8), Fossalta (2° di 8), Sabbioncello San Pietro e Sabbioncello San Vittore (3° di 8), Gradizza e Brazzolo (4° di 8), Copparo Ovest (5° di 8), Copparo Est (6° di 8), Cesta e Coccanile (7° di 8) e Ambrogio (8° di 8), tutte in scala 1:5.000.

8.1 Carta delle Indagini

E' la carta in cui sono riportate tutte le indagini geognostiche e geofisiche, sia quelle utilizzate per il I° e II° Livello di approfondimento sia quelle realizzate nel presente studio (III livello di approfondimento).

Per il comune di Copparo sono state nel complesso analizzate e/o realizzate:

I-II LIVELLO DI APPROFONDIMENTO

- **n. 336** prove penetrometriche statiche meccaniche (CPT);
- **n. 11** prove penetrometriche statiche con piezocono (CPTU);
- **n. 4** prove penetrometriche statiche con piezocono e cono sismico (SCPTU);
- **n. 39** pozzi per acqua;
- **n. 2** sondaggi a distruzione di nucleo;



- **n. 5** sondaggi con piezometro (Regione Emilia – Romagna);
- **n. 4** pozzo per la ricerca di idrocarburi;
- **n. 8** indagini tipo *Multichannel Analysis of Surface Waves* (MASW);
- **n. 11** misurazioni dei microtremiti ambientali *Horizontal to Vertical Spectral Ratio* (HVSr).

III LIVELLO DI APPROFONDIMENTO

- **n. 3** prove penetrometriche statiche con piezocono (CPTU);
- **n. 2** prove penetrometriche statiche con piezocono sismico (SCPTU);
- **n. 5** sondaggi a trivella con prelievo di n. 14 campioni tra rimaneggiati e indisturbati (shelby) per analisi di laboratorio geotecnico;
- **n. 2** profili sismici in array tipo *Multichannel Analysis of Surface Waves* (MASW);
- **n. 5** misurazioni del microtremore ambientale con metodo *Horizontal to Vertical Spectral Ratio* (HVSr);
- **n. 1** misura sperimentale del comportamento dinamico di una struttura (metodo SSR e misura a stazione singola).

Circa le indagini dirette che fanno riferimento al I-II livello di approfondimento, la maggior parte di esse proviene dall'archivio interno di Synthesis S.r.l. e in parte da prove eseguite durante il II livello di studio. Si tratta per lo più di prove penetrometriche statiche a punta meccanica e a punta elettrica con piezocono, eseguite nel corso di pregresse campagne geognostiche. Le penetrometrie in media hanno raggiunto profondità comprese tra 15-30 m da piano campagna. Per quanto riguarda i sondaggi e pozzi per acqua la profondità è in genere compresa tra 30-40 m da p.c., mentre il pozzo per idrocarburi ha raggiunto profondità di circa 200 m.

Le prove invece che fanno riferimento al III livello di approfondimento (campagna 2018) sono state realizzate interamente nel corso del presente studio.

La profondità raggiunta nel complesso dalle prove è ampiamente sufficiente per individuare e stimare gli indici di rischio degli orizzonti potenzialmente suscettibili di instabilità, nello specifico terreni suscettibili di densificazione (terreni fini-coesivi) o liquefazione (terreni granulari-incoerenti).

Circa le indagini geofisiche, nella campagna 2017 sono state eseguite n. 1 prova penetrometrica con cono sismico (SCPTU) presso Copparo (capoluogo), nel cortile dell'ex Caserma dei Carabinieri, n. 1 prova penetrometrica con cono sismico (SCPTU) presso la frazione di Fossalta, lungo Via Argine Volano e n. 2 misure a stazione singola del microtremore ambientale HVSr presso la frazione di Sabbioncello.

Le indagini geofisiche eseguite per il III livello di approfondimento (campagna 2018), sono consistite in prove SCPTU, profili in array di tipo MASW, in misure a stazione singola del microtremore ambientale sia sul suolo (HVSr-frequenze naturali di vibrazione del sottosuolo) sia su strutture (SSR-periodo di vibrazione della struttura); nel caso specifico la struttura esaminata è stato l'edificio sede della scuola O. Marchesi di Copparo.

8.2 Carta delle frequenze naturali dei terreni

La carta contiene informazioni sulla frequenza e l'ampiezza dei picchi di amplificazione locale del moto del suolo per risonanza stratigrafica che caratterizzano l'area. E' una carta molto importante in quanto frutto di registrazioni dirette eseguite in sito. Le misure effettuate, i cui valori di picco sono riportati sulla carta, indicano a quali frequenze il moto del suolo subisce delle amplificazioni per effetto dell'assetto stratigrafico specifico del sottosuolo investigato e per effetto dei contrasti di rigidità relativi tra gli strati, o più in generale tra le unità, che lo compongono.

Dall'elaborazione delle curve HVSR si è rilevata la presenza di amplificazioni locali del moto del suolo per risonanza stratigrafica a contrasto d'impedenza variabile da basso-moderato ($2 < F_0 < 3$) a elevato ($F_0 > 3$) nell'intervallo di frequenze 1-2 Hz. Per frequenze < 1 Hz si registrano in generale deboli amplificazioni a contrasto in media basso ($F_0 \approx 2$).

I risultati ottenuti e descritti sono da confrontare con specifiche misure del periodo di vibrazione delle strutture (analisi del comportamento dinamico delle strutture) al fine di consentire il confronto tra le frequenze di vibrazione del terreno e quelle delle strutture con l'obiettivo di evitare o contenere il fenomeno di *doppia risonanza terreno-struttura*. Nello studio in esame, a tal proposito, è stato analizzato il comportamento dinamico (modi di vibrazione e relativi periodi) dell'edificio sede della scuola O. Marchesi di Copparo.

8.3 Carta delle velocità delle onde di taglio S (Vs)

La carta illustra e riporta i valori stimati di Vs30, ovvero la media ponderata di velocità delle onde di taglio S nei primi 30 m da p.c.

La stima è stata eseguita mediante:

I-II LIVELLO DI APROFONDIMENTO (indagini pregresse)

- n.2 prove SCPTU;
- n. 1 misura a stazione singola HVSR.

III LIVELLO DI APPROFONDIMENTO (campagna attuale 2018)

- n. 2 prova SCPTU;
- n. 2 profili in array con tecnica MASW;
- n. 5 misure a stazione singola HVSR

La tabella sottostante riepiloga i risultati ottenuti.

TABELLA 8.3-1: VALORI DI VS₃₀ STIMATI PER L'AREA COMUNALE DI COPPARO

SITO	Tipologia di indagine e anno campagna geofisica	VS ₃₀ m/s	COMMENTI
Copparo	SCPTU (2017)	183	Rigidità dei terreni soffice/moderata
Fossalta	SCPTU (2017)	200	Rigidità dei terreni moderata
Saletta	MASW (2018)	173	Rigidità dei terreni soffice
Coccanile	SCPTU (2018)	178	Rigidità dei terreni soffice
Sabbioncello	MASW (2018)	166	Rigidità dei terreni soffice/molto soffice
Ambrogio	MASW + HVSR (2018)	166	Rigidità dei terreni soffice/molto soffice; fit congiunto con misura HVSR



Come già più volte descritto, anche i valori di velocità delle onde S testimoniano e confermano la presenza di terreni a scarsa rigidità, soffici e molto soffici, caratterizzati da valori medi di $V_s < 180$ m/s in particolare nei primi 15-20 m di profondità da p.c. (UNITA' A). Al di sotto di tale quota, le sabbie pleistoceniche mostrano decisi innalzamenti dei valori di velocità V_s (UNITA' C) con valori medi di circa 250 m/s.

8.4 Carte di Microzonazione Sismica di III livello

Dalle carte delle aree suscettibili di effetti locali redatte nel corso della microzonazione di II livello di approfondimento per il comune di Copparo, si distinguevano:

- ZONA 1: caratterizzata dalla presenza di argilla/limo argilloso (terreni potenzialmente instabili per densificazione) e sabbia (terreni potenzialmente suscettibili di liquefazione);
- ZONA 3: caratterizzata dalla presenza di argilla/limo argilloso (terreni potenzialmente instabili per potenziale densificazione), torba (terreni instabili per potenziale densificazione) e sabbia (terreni potenzialmente suscettibili di liquefazione);
- ZONA 4: caratterizzata dalla presenza unicamente di argilla/limo argilloso (terreni instabili per potenziale densificazione);
- ZONA 5: caratterizzata dalla presenza di argilla/limo argilloso (terreni instabili per potenziale densificazione) e torba (terreni instabili per potenziale densificazione).

Tutte le zone individuate e distinte sono da considerarsi suscettibili di amplificazione stratigrafica del moto sismico. Trascurando gli effetti topografici, trattandosi di aree pianeggianti, le coperture sedimentarie poste sopra al bedrock sismico, per le loro stesse caratteristiche di rigidità, natura litologica e assetto stratigrafico, sono in grado di modificare il moto sismico proveniente da basso in termini di frequenza, durata e ampiezza, amplificandone gli effetti di scuotimento in superficie.

Nel presente studio si forniscono:

- le mappe dei fattori di amplificazione del rapporto PGA/PGA_0 (F.A. fattore di amplificazione stratigrafica);
- le mappe dell'Intensità di Housner S_i/S_{i0} (rapporto di intensità di Housner) per i periodi 0,1 – 0,5s, 0,5 – 1s e 0,5 – 1,5s.

Il territorio è caratterizzato dalla presenza di terreni fini, coesivi, soffici e molto soffici caratterizzati da valori medi di resistenza a rottura in condizioni non drenate (breve termine) < 70 KPa. Resistenze medie inferiori a tale valore di soglia, come indicato nella DGR 2193/2015 nell'allegato A3 – Capitolo B – paragrafo B3, unitamente ai valori stimati di velocità delle onde di taglio S, in genere risultati < 180 m/s, indicano la predisposizione di tali depositi allo sviluppo di cedimenti potenzialmente rilevanti in caso di scuotimento indotto dall'azione ciclica e dinamica del sisma. Tale fenomeno, indicato con il termine di *densificazione* (abbassamento generalizzato del piano campagna), può causare effetti di danno rilevanti specie sulle costruzioni poggianti su fondazioni superficiali, poste a diretto contatto con gli strati superficiali e in genere più soffici, sollecitati dall'azione sismica.

Le aree di studio sono state oggetto di analisi con III° livello di approfondimento al fine di stimare, a livello indicativo e di ordine di grandezza, il cedimento indotto dal sisma a carico della frazione coesiva fine (argilla e limi argillosi dell'unità A). Sui campioni di terreno prelevati nel corso della presente campagna geognostica è stato determinato il valore di Indice Plastico IP al fine di verificare il superamento o meno della soglia del 30% indicata dalla normativa. Nei casi in cui $IP > 30\%$, unitamente a $cu < 70$ KPa e V_s strato < 180 m/s già ampiamente verificati, si è proceduto all'esecuzione in laboratorio geotecnico di prove edometriche su campioni indisturbati prelevati nei primi 5-10 m da p.c., al fine di stimare numericamente il cedimento post-sismico atteso. L'accelerazione massima in superficie utilizzata nel calcolo è stata quella

 Synthesis s.r.l. Piazza del Popolo civ. 13 – int. 5 44034 – Copparo – Fe Tel. 0532 860546 – Fax 0532 091680 www.synthesisr.com – info@synthesisr.com	STUDIO DI MICORZONAZIONE SISMICA DI III° LIVELLO Relazione Illustrativa	RIF. 119/17-ES-REV00 DEL 29/06/2018
--	---	--

ottenuta dall'analisi di risposta sismica locale per un Tempo di Ritorno di 475 anni e smorzamento pari al 5%.

Limitatamente alle ZONA 1 e ZONA 3 rilevate ovunque sul territorio comunale, si riscontra anche la presenza di depositi incoerenti-granulari nei primi 20 m da p.c., quali sabbie, sabbie limose e limi sabbiosi, con scarso grado di addensamento e sotto falda.

Alla luce di quanto detto, per i depositi sabbiosi individuati sono state eseguite analisi con III livello di approfondimento al fine di stimare a scala dell'intero territorio comunale, l'Indice di Liquefazione I_L come prescritto dalla normativa di riferimento. Le analisi sono state condotte sulla scorta dei risultati ottenuti da prove CPTU e SCPTU, applicando come accelerazione massima in superficie quella ottenuta dall'analisi di risposta sismica locale per un Tempo di Ritorno di 475 anni e smorzamento pari al 5%. Il metodo utilizzato per il calcolo del fattore di sicurezza alla liquefazione è stato quello di Boulanger & Idriss (2014), mentre il valore dell'indice di Liquefazione I_L è stato determinato mediante Sonmez (2003).

Con l'approfondimento di III livello, pertanto, le zone sono divenute:

ZONE STABILI SUSCETTIBILI DI AMPLIFICAZIONI LOCALI

- ZONA 6: caratterizzata dalla presenza di argilla/limo argilloso e sabbia;
- ZONA 8: caratterizzata dalla presenza di argilla/limo argilloso, torba e sabbia;
- ZONA 9: caratterizzata dalla presenza unicamente di argilla/limo argilloso;
- ZONA 10: caratterizzata dalla presenza di argilla/limo argilloso e torba;

ZONE di INSTABILITA' (attenzione, suscettibilità e rispetto)

- ZONA tipo 30502001: zona di attenzione per liquefazione;
- ZONA tipo 3080: zona di attenzione per densificazione.

8.4.1 Analisi di Risposta Sismica Locale

La valutazione degli effetti sismici di sito (Risposta Sismica Locale) dell'intera area comunale di Copparo comprese le frazioni è stata condotta mediante approccio numerico non semplificato come previsto dalla DGR N. 2193/2015 della Regione Emilia Romagna per il III livello di approfondimento, utilizzando il **codice di calcolo STRATA (Equivalent-linear Earthquake site Response Analysis; STRATA è distribuito con licenza GNU disponibile al sito <http://www.gnu.org/licenses/>)**.

PARAMETRI DI INPUT

TABELLA 8.4.1-1: PARAMETRI DI INPUT UTILIZZATI PER L'ANALISI RSL

SITO	Valori di a_{refg} (g)	Scelta dei segnali di input	Banca dati di provenienza dei segnali di input	N. Accelerogrammi input impiegati	Profondità presunta bedrock sismico riferita al livello del mare
COPPARO e frazioni	0.1007	Storia sismica da DBMI15-CPTI15 (INGV) e Carta Sismogenetica d'Italia Zone ZS9 (si veda capitolo 2 nel presente documento)	European Strong Motion Database IESD (dati disponibili su Servizio Geologico Sismico e dei Suoli E-R: "Sismica-Microzonazione Sismica") come da DGR2193/2015; Italian Accelerometric Archive (ITACA 2.3) si veda scheda di seguito nel testo	10 (N. 3 da European Strong Motion Database e n. 7 da ITACA 2.3)	200-250 m

Dove:

- come valori di a_{refg} sono stati assunti quelli riferiti al nodo più vicino oppure, in caso di una certa equidistanza, si è fatto riferimento al nodo con valore più elevato (DGR2193/2015 file: *all_4_coord.kmz*);
- **DBMI** = Database Macrosismico Italiano 2015 (INGV);
- **CPTI** = Catalogo Parametrico Terremoti Italiani 2015 (INGV);
- la **profondità del bedrock sismico ($V_s \approx 700/800$ m/s)** è stata stimata in base all'isobata del tetto del Sintema Emiliano Romagnolo superiore (da Carta Sismotettonica Regione E-R) e all'interpretazione delle indagini geofisiche (in particolare HVSR e ESAC);
- tutti gli accelerogrammi utilizzati come **segnali di input** sono stati scalati al valore di a_{refg} riportato in tabella e i relativi spettri di risposta in accelerazione fanno riferimento a un Tempo di Ritorno $T_R = 475$ anni e a uno **smorzamento convenzionale del 5%**;



- i 3 segnali provenienti dalla banca dati europea (**ISESD**) e indicati sulla normativa di riferimento provengono dai seguenti files: 000046xa.xy; 000126xa.xy; 000354xa.xy
- i 7 segnali provenienti dal database **ITACA 2.3** sono stati selezionati come riportato di seguito (gli accelerogrammi con fattore di scala troppo elevato a giudizio dello scrivente non sono stati considerati nell'analisi).

Target spectrum

=====
Latitude: 44.894251
Longitude: 11.831676
Site classification: A
Topography: 1
Nominal life [years]: 50
Building functional type (Cu): 1.0
Limit state probability : 0.1

Preliminary record search

=====
Station site classification: A,A*,B,B*,C,C*,D,D*,E,E*
Magnitude min: 5.0
Magnitude max: 6.0
Types of magnitude considered: W
Epicentral distance min [km]: 0.0
Epicentral distance max [km]: 50.0
Include late trigger events: no
Include analog recordings: yes

Spectrum matching parameters and analysis options

=====
Period range min [s]: 0.15
Period range max [s]: 2.0
Tolerance below average [%]: 10.0
Tolerance above average [%]: 30.0
scaled records: yes

Scaled records and corresponding scale factors

=====
TV.CAS02..HNE.D.20120529.070002.C.SA.ASC 2.197
TV.MIR08..HNN.D.20120529.110022.C.SA.ASC 1.096
IV.T0821..HNE.D.20120529.070002.C.SA.ASC 4.564
IT.PZS..HNN.D.20120127.145312.C.SA.ASC 9.906
IT.FAZ..HNE.D.20030914.214253.C.SA.ASC 11.728
IV.T0814..HNN.D.20120529.110022.C.SA.ASC 0.979
IV.T0803..HNN.D.20120529.070002.C.SA.ASC 1.309

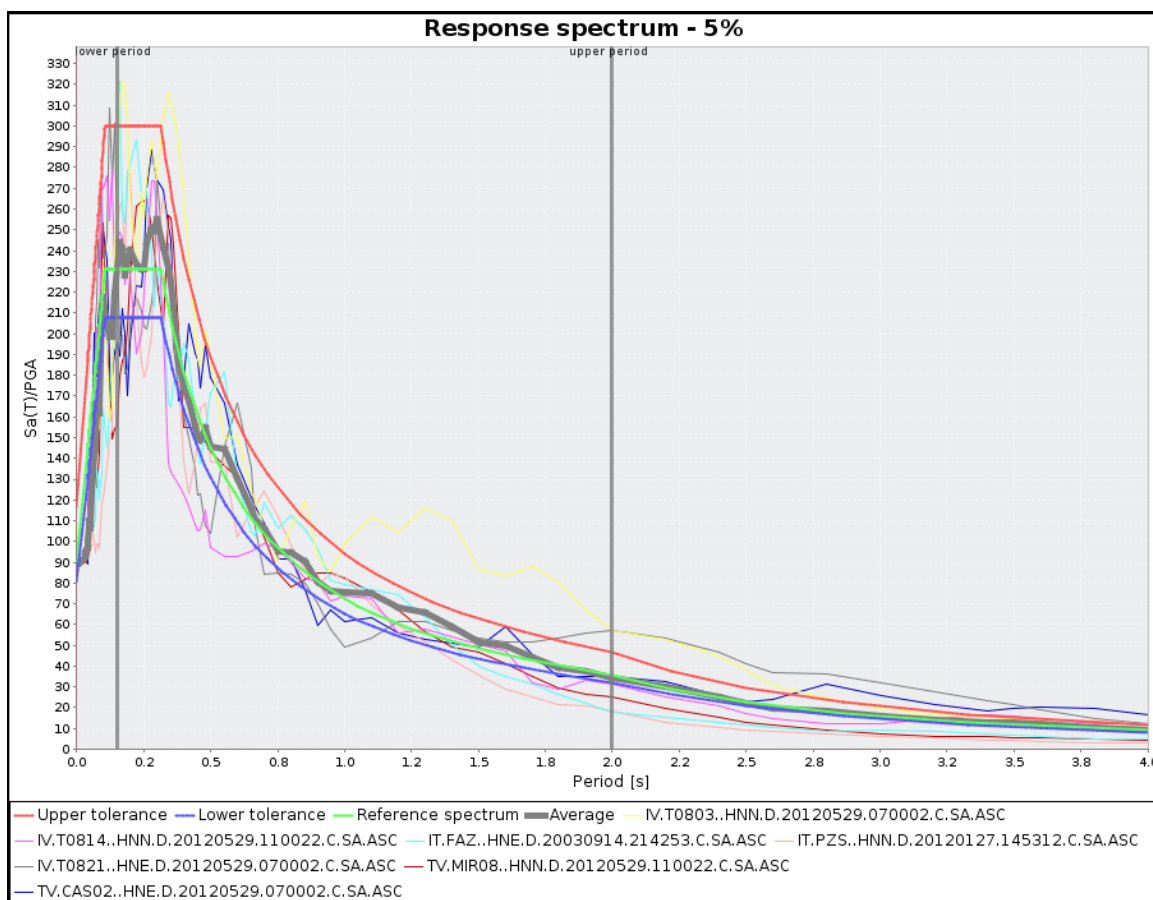


Figura 8.4.1-1 – Spettri dei segnali di input provenienti da ITACA 2.3 (spettri compatibili in media con lo spettro del terremoto target)

MODELLO DI SOTTOSUOLO UTILIZZATO

TABELLA 8.4.1-2: MODELLO DI SOTTOSUOLO UTILIZZATO PER L'ANALISI DI RISPOSTA SISMICA LOCALE PER L'AREA DI COPPARO E SUE FRAZIONI

Prof. da p.c. tetto sismostrato (m)	Spessore sismostrato (m)	Litotipo prevalente nel sismostrato	Unità di riferimento (modello geologico da I-II-III livello)	Velocità media stimata onde S (m/s) nel sismostrato	Velocità minima stimata onde S (m/s) nel sismostrato	Velocità massima stimata onde S (m/s) nel sismostrato	Curve G-gamma; D-gamma (degrado modulo taglio/dumping)
0.00	20.00	limo argilloso organico con tracce di torba	A piana deltizia olocenica Po	165.00	105.00	190.00	Colonna risonante su campione litologicamente analogo proveniente da RO (≈9 m profondità)
20.00	80.0	sabbia medio fine grigia	C piana alluvionale pleistocenica Po	255.00	205.00	350.00	Colonna risonante su campione litologicamente analogo proveniente da RO (≈20 m profondità)
100.00	150.00	limo con sabbia "profondo"	Altri Depositi del Sintema E-R superiore	400.00	400.00	500.00	Colonna risonante su campione proveniente da alta pianura bolognese consolidato a 500 KPa
200-250 (variabile)	half-space	Bedrock	Tetto Sintema E-R inferiore	700.00	600.00	800.00	Da letteratura (Darendeli)

La profondità della falda è stata assunta mediamente a – 2 m di profondità da p.c.

Le curve degrado (g-gamma) e smorzamento (dumping D-gamma) utilizzate sono riportate nelle figure seguenti. A titolo di confronto nei grafici sono inserite anche le curve provenienti da ben noti studi di letteratura associate a litotipi analoghi a quelli presenti in sito (studi su argille e sabbie di Seed e Idriss).

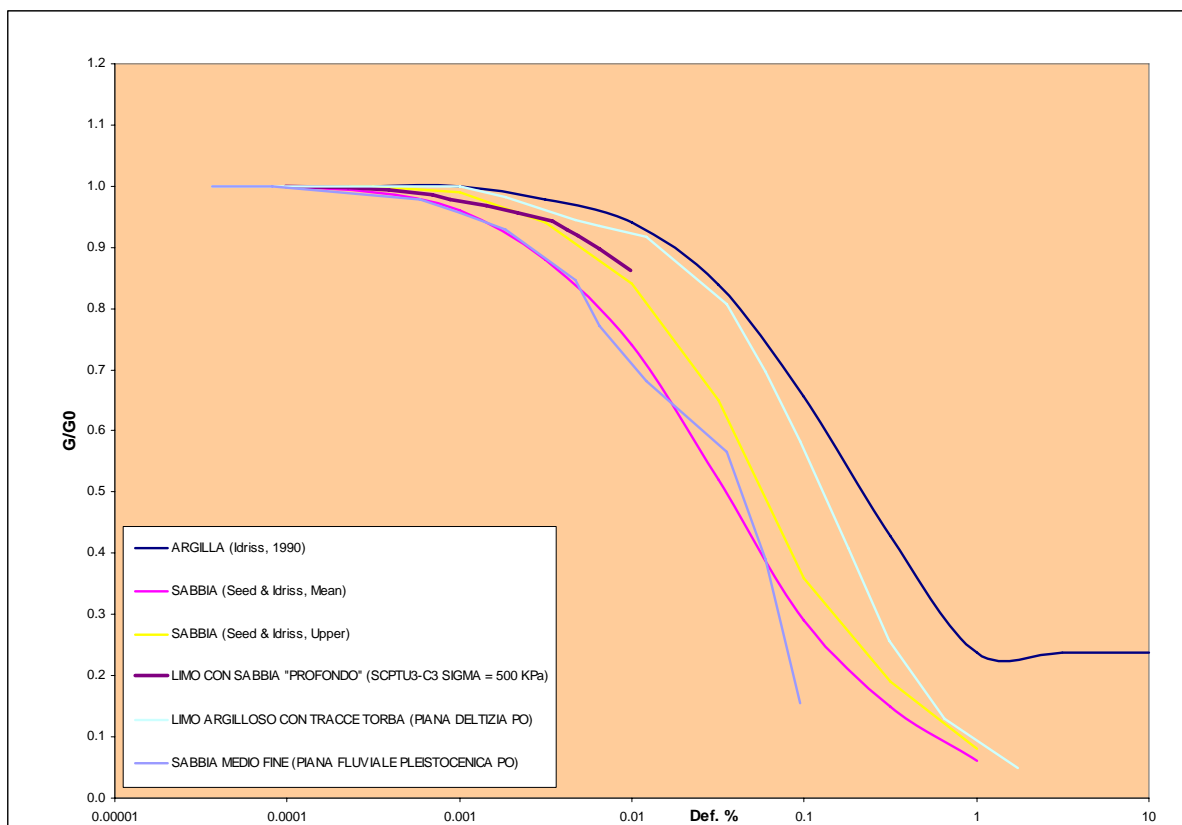


Figura 8.4.1-2 – Curve G-gamma materiali impiegati nell'analisi e confronto con curve note da letteratura

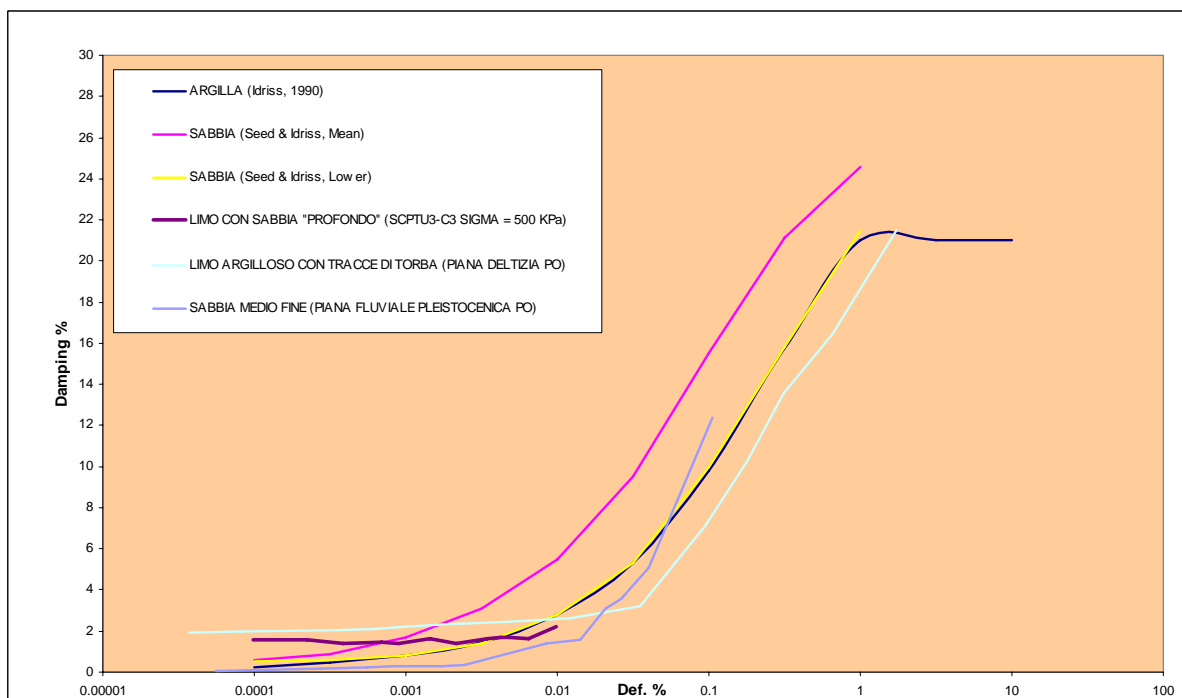


Figura 8.4.1-3 - Curve D-gamma materiali impiegati nell'analisi e confronto con curve note da letteratura

TABELLA 8.4.1-3: GESTIONE DELLE INCERTEZZE: VARIAZIONI CONSENTITE NELL'ANALISI CON SOFTWARE STRATA

SITO	Metodo utilizzato per variazione parametri	Variabili su cui è stato applicato il metodo <i>Monte Carlo</i>	NOTE
COPPARO (e frazioni)	Simulazioni con metodo <i>Monte Carlo</i> basate sulla generazione di una distribuzione statistica (in genere normale o log-normale) di una variabile prescelta a partire dalla sua media e dalla sua deviazione standard	<ul style="list-style-type: none"> - Velocità onde S nel sismostrato; - Spessore del sismostrato - Profondità bedrock sismico - Andamento curve G-gamma; D-gamma nel sismostrato 	<p>Circa la variazione delle Vs sono stati fissati dei limiti minimi e massimi per il singolo sismostrato sulla base dei risultati delle indagini geofisiche (modello empirico Toro, 1995 – distribuzione log-normale);</p> <p>Circa lo spessore degli strati (modello empirico Toro, 1995 – distribuzione log-normale) si è posta particolare attenzione all'interfaccia tra i depositi dell'Unità A (Limi e argille prevalenti di piana deltizia olocenica) e i depositi dell'Unità C (Sabbie pleistocenice Po). Si è cercato di tenere conto del fatto che alla scala dell'intero territorio comunale il limite tra queste 2 unità sia risultato variabile dell'ordine di qualche metro con una media fissata intorno a circa 20 m;</p> <p>Circa la profondità del bedrock questo è stato fatto variare con distribuzione log-normale all'interno del range indicato sulla Carta Sismotettonica della Regione E-R (isobate Sintema Emiliano-Romagnolo superiore);</p> <p>Circa le curve degrado/smorzamento, sono state fatte variare secondo il modello empirico di Darendeli (2001 – distribuzione normale).</p>

SPETTRI DI RISPOSTA ELASTICI IN ACCELERAZIONE CALCOLATI ($T_R = 475$ anni; smorzamento 5%)

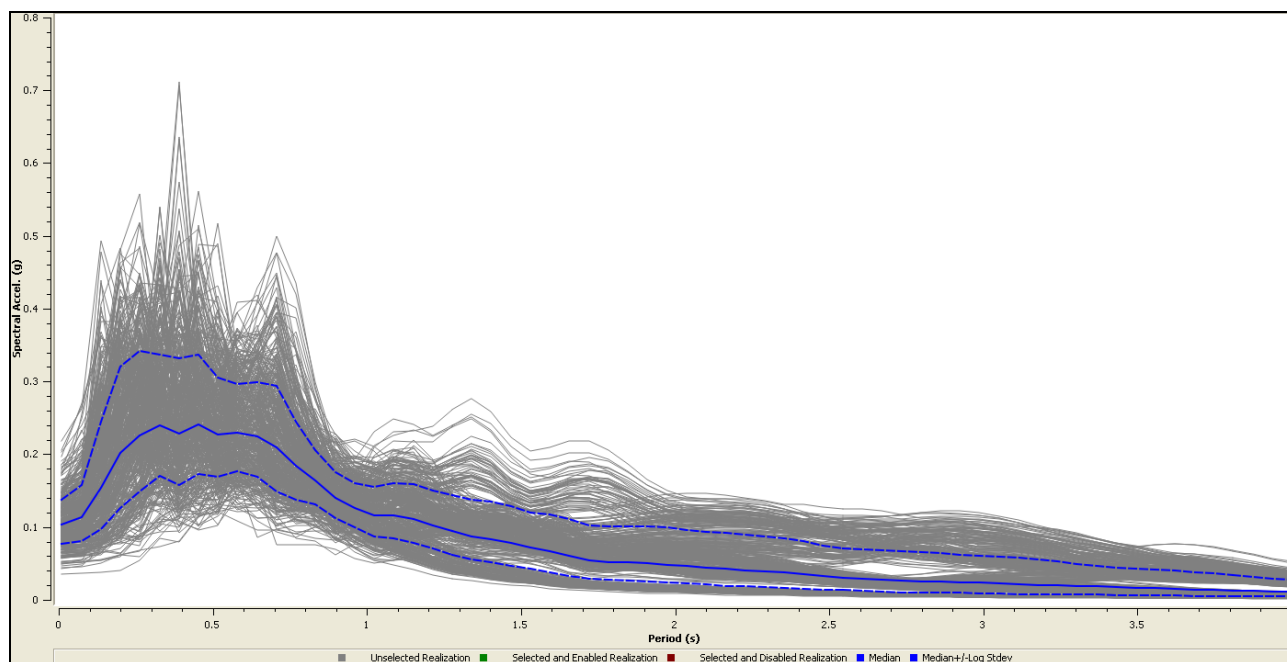


Figura 8.4.1-4 – Involuppo spettri finali calcolati per Copparo e frazioni

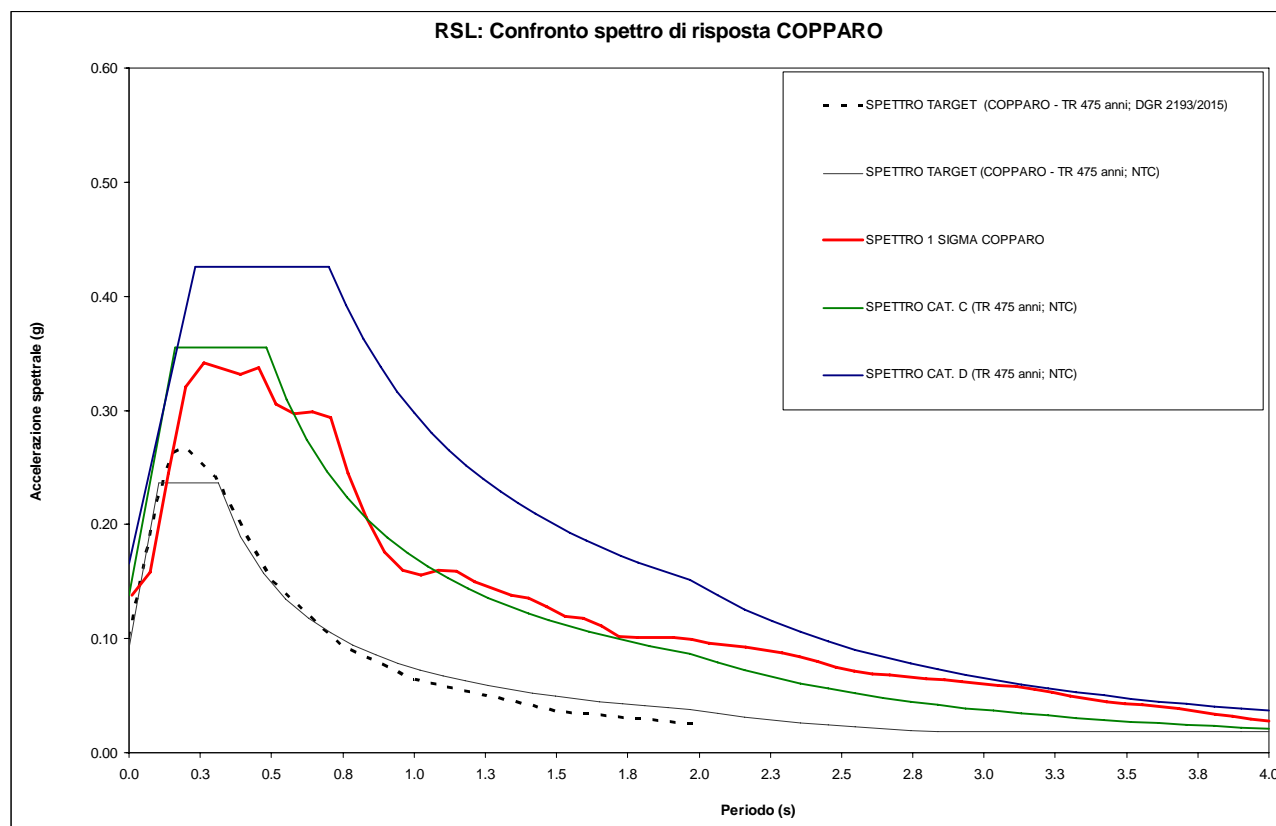


Figura 8.4.1-5 Spettro 1-sigma prescelto come rappresentativo del sito in esame confronto con spettri di normativa

Lo spettro prescelto è uno **spettro 1-sigma**, ovvero spettro medi + la deviazione standard associata alla media. Pertanto nella figura 8.5.1-5 è riportato lo spettro con linea blu tratteggiata rappresentato nella figura 8.5.1-4 (linea blu tratteggiata in alto).

Alla luce dei risultati ottenuti dall'analisi è possibile fornire le seguenti stime circa il rapporto PGA/PGA_0 (fattore di amplificazione stratigrafica in superficie) e SI/SI_0 (Intensità spettrale di Housner sullo spettro in pseudo-velocità) nei tre intervalli di periodo richiesti dalla normativa:

TABELLA 8.4.1-4: MAPPE DI AMPLIFICAZIONE PER COPPARO E FRAZIONI

SITO	$a_{refg} = PGA_0$ (g)	PGA (g) (accelerazione massima attesa in superficie)	PGA/PGA_0 (F.A.)	SI/SI_0 (0.1-0.5 s)	SI/SI_0 (0.5-1.0 s)	SI/SI_0 (0.5-1.5 s)
COPPARO	0.1007	0.137	1.36	1.4	2.0	1.9

Si ricorda che il fattore di amplificazione topografica per l'area è posto = 1 (area pianeggiante)

8.4.2 Stima dell'indice di liquefazione IL terreni incoerenti

Con le metodologie descritte nel capitolo 7, nella tabella sottostante si riportano i valori dell'Indice di Liquefazione per le ree investigate relativamente ai terreni incoerenti in falda rilevati:

TABELLA 8.4.2-1 INDICE DI LIQUEFAZIONE E CLASSE DI PERICOLOSITÀ (SONMEZ, 2003)

SITO	Prova di riferimento	Prof. falda (m)	PGA Utilizzata (g)	Magnitudo di riferimento	I_L	Classe di pericolosità (Sonmez, 2003)
COPPARO	CPTU3	0.69	0.137	6.14	1.595	Basso
COPPARO	CPTU4	2.31	0.137	6.14	0.896	Basso
BRAZZOLO	CPTU10	1.95	0.137	6.14	0.069	Basso/nullo
SALETTA	SCPTU2	1.70	0.137	6.14	0.854	Basso
COCCANILE	SCPTU3	1.12	0.137	6.14	0.333	Basso



SABBIONCELLO	CPTU 023/16_RL	1.70	0.137	6.14	0.440	Basso
COPPARO	CPTU1 024/16_RL	2.40	0.137	6.14	0.682	Basso
COPPARO	CPTU2 024/16_RL	2.70	0.137	6.14	0.327	Basso
COPPARO	CPYU 060/16_RL	1.15	0.137	6.14	0.814	Basso
AMBROGIO	CPTU2 059/13_ES	1.85	0.137	6.14	0.219	Basso
AMBROGIO	CPTU1 059/13_ES	1.80	0.137	6.14	0.263	Basso
COPPARO	CPTU1 ISMGEO	1.80	0.137	6.14	0.811	Basso
COPPARO	CPTU2 ISMGEO	1.80	0.137	6.14	2.481	Moderato
COPPARO	CPTU3 ISMGEO	1.80	0.137	6.14	2.290	Moderato
COPPARO	CPTU4 ISMGEO	1.80	0.137	6.14	3.460	Moderato
COPPARO	SCPTU1 ISMGEO	1.80	0.137	6.14	3.897	Moderato
COPPARO	SCPTU4 ISMGEO	1.80	0.137	6.14	1.463	Basso
TAMARA	SCPTU1 ASP_C2_C_004	1.60	0.137	6.14	0.167	Basso
SALETTA	CPTU1 042_16_ES	1.50	0.137	6.14	0.609	Basso

SALETTA	CPTU2 042_16_ES	1.50	0.137	6.14	1.566	Basso
---------	--------------------	------	-------	------	-------	-------

Dove:

$I_L = 0$ Non liquefacibile (Fattore di sicurezza ≥ 1.2)

$0 < I_L \leq 2$ Potenziale basso

$2 < I_L \leq 5$ Potenziale moderato

$5 < I_L \leq 15$ Potenziale alto

$15 < I_L$ Potenziale molto alto

Il metodo di analisi come già detto è stato quello di Boulanger & Idriss (2014)

Nel complesso l'area di Copparo e frazioni si caratterizza per una pericolosità alla liquefazione da bassa a moderata.

Unitamente alla stima di I_L nella figura seguente si mostra il confronto tra le curve granulometriche ottenute in laboratorio sui campioni di sabbia prelevati nel territorio di Copparo (S3-C2; S4-C3; S10-C1; S13-C1; S13-C3; S12-C1) e i fusi di riferimento indicati nella DGR 2193/2015.

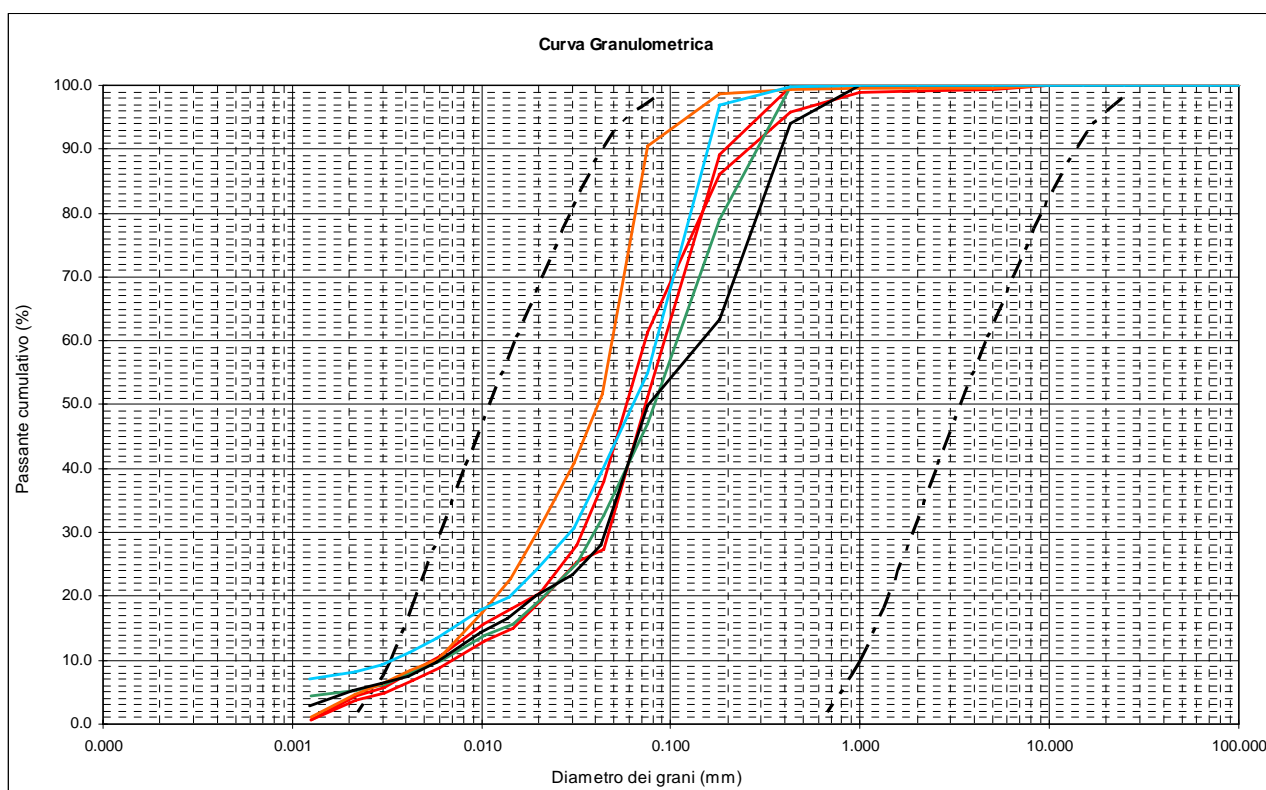


Figura 8.4.2-2 Confronto curva granulometrica dei campioni di sabbia prelevati a Copparo e frazioni e fusi di riferimento normativi (coefficiente di uniformità $U_c > 3.5$)

Come si osserva nel grafico, il tratto di curva che fuoriesce dai fusi di riferimento, grosso modo corrispondente alla frazione fine (FC) passante al setaccio 200 ASTM, è risultata $< 8-10\%$; inoltre la distribuzione granulometrica dei campioni analizzati è compresa all'interno dei fusi di riferimento per oltre il 50%.

8.4.3 Stima dei cedimenti post-sismici attesi terreni coesivi

Con le metodologie descritte nel capitolo 7, si è proceduto alla stima dei cedimenti attesi a seguito del sisma sui livelli di terreno coesivo soffice dove sono state simultaneamente verificate le condizioni di:

- valori di coesione non drenata < 70 KPa (da indagini dirette specie CPTU);
- valori di velocità di propagazione delle onde di taglio S (Vs) < 180 m/s (da indagini geofisiche);
- valori di Indice Plastico > 30 % (da prove di laboratorio su campioni prelevati in sito);

Nel caso del territorio di Copparo, essendo diffusamente verificate le prime 2 condizioni, e localmente anche la terza (si veda capitolo 4.1 e tabella 4.1-1), si è provveduto al prelievo di n. 1 campione indisturbato per l'esecuzione di una prova edometrica in laboratorio geotecnico al fine di ottenere i parametri di compressibilità del terreno per la stima dei cedimenti post-sismici attesi. Naturalmente il punto di prelievo è stato scelto laddove le condizioni sopraesposte sono state tutte confermate:

TABELLA 8.4.3-1 CAMPIONE INDISTURBATO PER PROVE EDOMETRICA

SITO	Prova di riferimento	Prof. Prelievo del campione (m)
Brazzolo di Copparo	CPTU 10	Intervallo 2.80-3.60

Utilizzando i parametri di laboratorio e quelli ricavati dall'analisi di RSL, utilizzando la formulazione indicata sulla DGR 2193/2015 al paragrafo B3 (Yasuhara e Andersen, 1991) si fornisce una stima indicativa del cedimento post-sismico atteso con particolare riferimento a primi 5-10 m di profondità da p.c. laddove i valori attesi di $\Delta U/P'0 \geq 30$ (rapporto tra l'incremento di pressione interstiziale nel terreno indotto dal sisma e tensione media efficace iniziale).

TABELLA 8.4.3-2 STIMA CEDIMENTI ATTESI POST-SISMICI TERRENI COESIVI SOFFICI

Intervallo di profondità	Litotipo prevalente	Indice di ricompressione C_r (da edometria)	$\Delta U/P'_0$	Deformazione volumetrica unitaria (ϵ_v)	Cediment o atteso 0-5 m	Entità del cedimento post-sisma (0-10 m)
0-5 m	Limo argilloso con tracce di torba	0.044	0.2	0.0042	non determinato in quanto $\epsilon_v/P'_0 < 0.3$	≈ 4 cm
Intervallo di profondità	Litotipo prevalente	Indice di ricompressione C_r (da edometria)	ϵ_v/P'_0	Deformazione volumetrica unitaria (ϵ_v)	Cediment o atteso 5-10 m	
5-10 m	Limo argilloso con tracce di torba	0.048	0.4	0.0097	≈ 3.8 cm	

9. CONFRONTO CON LA DISTRIBUZIONE DI DANNI PER EVENTI PASSATI

Non sono a disposizione dati relativi a danni per eventi passati.

10. BIBLIOGRAFIA

Indirizzi per gli studi di microzonazione sismica in Emilia-Romagna per la pianificazione territoriale e urbanistica; DGR 2193/2015 ;Regione Emilia-Romagna

F. Brammerini, G. di Pasquale, G. Naso, M. Severino, 2008. Protezione Nazionale Civile. Indirizzi e criteri per la microzonazione sismica.

M. Bondesan. L'area deltizia Padana: caratteri geografici e geomorfologici.

Regione Emilia-Romagna, Provincia di Ferrara, Università degli studi di Ferrara 2007. Riserve idriche sotterranee della Provincia di Ferrara.

Servizio Geologico Sismico e dei Suoli della Regione Emilia-Romagna.

Database Macrosismico dei Terremoti Italiani (DBMI15) e Catalogo Parametrico dei Terremoti Italiani (CPTI15), Istituto Nazionale di Geofisica e Vulcanologia (INGV).

Cartografia:

- Edizioni S.E.L.C.A. 1997, Carta Geomorfologica della Pianura Padana.
- Edizione 1999 – Carta Geologica di Pianura dell'Emilia-Romagna
- Edizioni S.E.L.C.A. 2004. Carta Sismotettonica della Regione Emilia-Romagna



11. ALLEGATI

Carta delle indagini - scala 1:20.000 – Comune di Copparo

- *Carta delle indagini - scala 1:5.000 - Comune di Copparo (1° di 8)*
- *Carta delle indagini - scala 1:5.000 - Comune di Copparo (2° di 8)*
- *Carta delle indagini - scala 1:5.000 - Comune di Copparo (3° di 8)*
- *Carta delle indagini - scala 1:5.000 - Comune di Copparo (4° di 8)*
- *Carta delle indagini - scala 1:5.000 - Comune di Copparo (5° di 8)*
- *Carta delle indagini - scala 1:5.000 - Comune di Copparo (6° di 8)*
- *Carta delle indagini - scala 1:5.000 - Comune di Copparo (7° di 8)*
- *Carta delle indagini - scala 1:5.000 - Comune di Copparo (8° di 8)*

Carta delle frequenze naturali dei terreni - scala 1:20.000 – Comune di Copparo

- *Carta delle frequenze naturali dei terreni - scala 1:5000 – Comune di Copparo (1° di 8)*
- *Carta delle frequenze naturali dei terreni - scala 1:5000 – Comune di Copparo (3° di 8)*
- *Carta delle frequenze naturali dei terreni - scala 1:5000 – Comune di Copparo (4° di 8)*
- *Carta delle frequenze naturali dei terreni - scala 1:5000 – Comune di Copparo (5° di 8)*
- *Carta delle frequenze naturali dei terreni - scala 1:5000 – Comune di Copparo (6° di 8)*
- *Carta delle frequenze naturali dei terreni - scala 1:5000 – Comune di Copparo (7° di 8)*
- *Carta delle frequenze naturali dei terreni - scala 1:5000 – Comune di Copparo (8° di 8)*

Carta delle velocità delle onde di taglio S (Vs) - scala 1:20.000 – Comune di Copparo

- *Carta delle velocità delle onde di taglio S (Vs) - scala 1:5.000 - Comune di Copparo (1° di 8)*
- *Carta delle velocità delle onde di taglio S (Vs) - scala 1:5.000 - Comune di Copparo (2° di 8)*
- *Carta delle velocità delle onde di taglio S (Vs) - scala 1:5.000 - Comune di Copparo (3° di 8)*
- *Carta delle velocità delle onde di taglio S (Vs) - scala 1:5.000 - Comune di Copparo (4° di 8)*
- *Carta delle velocità delle onde di taglio S (Vs) - scala 1:5.000 - Comune di Copparo (5° di 8)*
- *Carta delle velocità delle onde di taglio S (Vs) - scala 1:5.000 - Comune di Copparo (6° di 8)*
- *Carta delle velocità delle onde di taglio S (Vs) - scala 1:5.000 - Comune di Copparo (7° di 8)*
- *Carta delle velocità delle onde di taglio S (Vs) - scala 1:5.000 - Comune di Copparo (8° di 8)*

Carta dei fattori di amplificazione “Accelerazione massima orizzontale” (F.A. $PGA = PGA/PGA_0$) - scala 1:20.000 – Comune di Copparo

- *Carta dei fattori di amplificazione “Accelerazione massima orizzontale” (F.A. $PGA = PGA/PGA_0$) - scala 1:5.000 – Comune di Copparo (1° di 8)*
- *Carta dei fattori di amplificazione “Accelerazione massima orizzontale” (F.A. $PGA = PGA/PGA_0$) - scala 1:5.000 – Comune di Copparo (2° di 8)*
- *Carta dei fattori di amplificazione “Accelerazione massima orizzontale” (F.A. $PGA = PGA/PGA_0$) - scala 1:5.000 – Comune di Copparo (3° di 8)*
- *Carta dei fattori di amplificazione “Accelerazione massima orizzontale” (F.A. $PGA = PGA/PGA_0$) - scala 1:5.000 – Comune di Copparo (4° di 8)*
- *Carta dei fattori di amplificazione “Accelerazione massima orizzontale” (F.A. $PGA = PGA/PGA_0$) - scala 1:5.000 – Comune di Copparo (5° di 8)*
- *Carta dei fattori di amplificazione “Accelerazione massima orizzontale” (F.A. $PGA = PGA/PGA_0$) - scala 1:5.000 – Comune di Copparo (6° di 8)*
- *Carta dei fattori di amplificazione “Accelerazione massima orizzontale” (F.A. $PGA = PGA/PGA_0$) - scala 1:5.000 – Comune di Copparo (7° di 8)*

	Synthesis s.r.l. Piazza del Popolo civ. 13 – int. 5 44034 – Copparo – Fe Tel. 0532 860546 – Fax 0532 091680 www.synthesisr.com – info@synthesisr.com	STUDIO DI MICORZONAZIONE SISMICA DI III° LIVELLO Relazione Illustrativa	RIF. 119/17-ES-REV00 DEL 29/06/2018
--	---	---	--

- *Carta dei fattori di amplificazione “Accelerazione massima orizzontale” (F.A. $PGA = PGA/PGA_0$) - scala 1:5.000 – Comune di Copparo (8° di 8)*

Carta dei fattori di amplificazione “Intensità di Housner (SI/SI_0)” (F.A. 0.1-0.5 s) - scala 1:20.000 – Comune di Copparo

- *Carta dei fattori di amplificazione “Intensità di Housner (SI/SI_0)” (F.A. 0.1-0.5 s) - scala 1:5.000 – Comune di Copparo (1° di 8)*

- *Carta dei fattori di amplificazione “Intensità di Housner (SI/SI_0)” (F.A. 0.1-0.5 s) - scala 1:5.000 – Comune di Copparo (2° di 8)*

- *Carta dei fattori di amplificazione “Intensità di Housner (SI/SI_0)” (F.A. 0.1-0.5 s) - scala 1:5.000 – Comune di Copparo (3° di 8)*

- *Carta dei fattori di amplificazione “Intensità di Housner (SI/SI_0)” (F.A. 0.1-0.5 s) - scala 1:5.000 – Comune di Copparo (4° di 8)*

- *Carta dei fattori di amplificazione “Intensità di Housner (SI/SI_0)” (F.A. 0.1-0.5 s) - scala 1:5.000 – Comune di Copparo (5° di 8)*

- *Carta dei fattori di amplificazione “Intensità di Housner (SI/SI_0)” (F.A. 0.1-0.5 s) - scala 1:5.000 – Comune di Copparo (6° di 8)*

- *Carta dei fattori di amplificazione “Intensità di Housner (SI/SI_0)” (F.A. 0.1-0.5 s) - scala 1:5.000 – Comune di Copparo (7° di 8)*

- *Carta dei fattori di amplificazione “Intensità di Housner (SI/SI_0)” (F.A. 0.1-0.5 s) - scala 1:5.000 – Comune di Copparo (8° di 8)*

Carta dei fattori di amplificazione “Intensità di Housner (SI/SI_0)” (F.A. 0.5-1.0 s) - scala 1:20.000 – Comune di Copparo

- *Carta dei fattori di amplificazione “Intensità di Housner (SI/SI_0)” (F.A. 0.5-1.0 s) - scala 1:5.000 – Comune di Copparo (1° di 8)*

- *Carta dei fattori di amplificazione “Intensità di Housner (SI/SI_0)” (F.A. 0.5-1.0 s) - scala 1:5.000 – Comune di Copparo (2° di 8)*

- *Carta dei fattori di amplificazione “Intensità di Housner (SI/SI_0)” (F.A. 0.5-1.0 s) - scala 1:5.000 – Comune di Copparo (3° di 8)*

- *Carta dei fattori di amplificazione “Intensità di Housner (SI/SI_0)” (F.A. 0.5-1.0 s) - scala 1:5.000 – Comune di Copparo (4° di 8)*

- *Carta dei fattori di amplificazione “Intensità di Housner (SI/SI_0)” (F.A. 0.5-1.0 s) - scala 1:5.000 – Comune di Copparo (5° di 8)*

- *Carta dei fattori di amplificazione “Intensità di Housner (SI/SI_0)” (F.A. 0.5-1.0 s) - scala 1:5.000 – Comune di Copparo (6° di 8)*

- *Carta dei fattori di amplificazione “Intensità di Housner (SI/SI_0)” (F.A. 0.5-1.0 s) - scala 1:5.000 – Comune di Copparo (7° di 8)*

- *Carta dei fattori di amplificazione “Intensità di Housner (SI/SI_0)” (F.A. 0.5-1.0 s) - scala 1:5.000 – Comune di Copparo (8° di 8)*

Carta dei fattori di amplificazione “Intensità di Housner (SI/SI_0)” (F.A. 0.5-1.5 s) - scala 1:20.000 – Comune di Copparo

- *Carta dei fattori di amplificazione “Intensità di Housner (SI/SI_0)” (F.A. 0.5-1.5 s) - scala 1:5.000 – Comune di Copparo (1° di 8)*

- *Carta dei fattori di amplificazione “Intensità di Housner (SI/SI_0)” (F.A. 0.5-1.5 s) - scala 1:5.000 – Comune di Copparo (2° di 8)*

	Synthesis s.r.l. Piazza del Popolo civ. 13 – int. 5 44034 – Copparo – Fe Tel. 0532 860546 – Fax 0532 091680 www.synthesissrl.com – info@synthesissrl.com	STUDIO DI MICORZONAZIONE SISMICA DI III° LIVELLO Relazione Illustrativa	RIF. 119/17-ES-REV00 DEL 29/06/2018
--	---	---	--

- Carta dei fattori di amplificazione “Intensità di Housner (S_I/S_{I_0})” (F.A. 0.5-1.5 s) - scala 1:5.000 – Comune di Copparo (3° di 8)
- Carta dei fattori di amplificazione “Intensità di Housner (S_I/S_{I_0})” (F.A. 0.5-1.5 s) - scala 1:5.000 – Comune di Copparo (4° di 8)
- Carta dei fattori di amplificazione “Intensità di Housner (S_I/S_{I_0})” (F.A. 0.5-1.5 s) - scala 1:5.000 – Comune di Copparo (5° di 8)
- Carta dei fattori di amplificazione “Intensità di Housner (S_I/S_{I_0})” (F.A. 0.5-1.5 s) - scala 1:5.000 – Comune di Copparo (6° di 8)
- Carta dei fattori di amplificazione “Intensità di Housner (S_I/S_{I_0})” (F.A. 0.5-1.5 s) - scala 1:5.000 – Comune di Copparo (7° di 8)
- Carta dei fattori di amplificazione “Intensità di Housner (S_I/S_{I_0})” (F.A. 0.5-1.5 s) - scala 1:5.000 – Comune di Copparo (8° di 8)